Revue non exhaustive sur les modèles exactement solubles

J.M. Maillard

Laboratoire de Physique Théorique et Hautes Energies Tour 16, 4 place Jussieu, 75230 Paris, Cédex 05, France

LPTHE: 11/90

- SOMMAIRE -

INTEGRABLES ET LEURS INTER-RELATIONS

|--|

1) Polymorphisme des modèles intégrables : l'exemple du modèle à

six vertex 32

1

COURT TO TOU	26	28		2) Revue non exhaustive des applications des modèles intégrables
5	_	_	10	Iz
	Un	Jug Dug	Ļ	15
1	pc	19	ě	10
É	in	ue	181	no
	H	ÇD	u.	13
	de	exe	I to	ex
	4	dure	:	180
	e	le		18
	00	S	:	1¥
	né	•		1 0
	Ga.	÷	÷	les
		:	:	1 00
		:	ï	g
	*		•	II.
	•	÷	÷	8
	•	•		10
		:	:	B.M
		÷		10
		÷	:	188
		3		병
			:	dè
	•	:	:	le
	:	:	:	60
		ř	:	11
		i		100
	•	:	•	BIL
	:	:	:	10
		:	:	18
		:	•	
		3	÷	
	2b) Un point de vue général 4	2a) Quelques exemples	en physique	
4	4	38	ω _ω	

:::

INTRODUCTION -

Le domaine de recherche que constitue les problèmes dits "complètement intégrables" a connu ces dernières années un développement assez remarquable, développement qui est dû, d'une part à l'apparition de concepts puissants tel que le formalisme de Lax [1], mais également à un processus de convergence entre des domaines différents, conduisant ainsi à des rapprochements fructueux. On peut signaler par exemple, la totale identification formelle existant entre la transformation triangle-étoile en mécanique statistique et la propriété de factorisation de la matrice S dans les théories des champs bidimensionnels. Il est clair par ailleurs que la réunion des techniques utilisées en mécanique statistique et du formalisme de la méthode inverse classique (scattering inverse) a donné naissance à la théorie de la méthode inverse quantique ("quantum inverse scattering") [2].

plus intrinsèques; ceci nous amènera à prêter une attention toute particuaspects de ces deux théories, et avons préféré nous attacher à d'autres Cependant cette revue ne rend que partiellement compte de la théorie de la article de revue qui cherche à vulgariser un sujet réputé assez technique. modèles intégrables à la physique. Cette note doit être regardée comme un lière aux relations triangle-étoile. Nous discuterons des applications des parmi ces techniques et concepts ceux qui semblent les plus simples, les critères de complète intégrabilité peuvent se correspondre. Nous dégagerons entre une variété de modèles et regarderons comment les formalismes et les sur des exemples simples. Nous indiquerons un certain nombre d'équivalences de Lie...). Nous allons essayer de dénouer cet "écheveau" en nous appuyant sur un même problème (géométrie algébrique, géométrie différentielle, groupes et points de vue différents ont également eu tendance à venir se greffer points moins popularisés dans la littérature. trouver des exposés très complets [3][4]. Nous n'abordons que certains méthode inverse et du "quantum inverse scattering" pour lesquels on peut développer leur propre formalisme et critères d'intégrabilité. Des techniques problèmes à n corps, physique du solide...) qui chacun, ont eu tendance à grande diversité de domaines (théorie des champs, mécanique statistique, Les notions de modèles complètement intégrables interviennent dans une

II - NOTIONS ET CONCEPTS INTERVENANT DANS LES PROBLEMES COMPLETEMENT INTEGRABLES ET LEURS INTER-RELATIONS

1) Théorie de la déformation isospectrale. Les équations aux dérivées partielles non-linéaires

la) Rappels sur le problème inverse

 $\phi_t = 6\phi \cdot \phi_x - \phi_{xxx}$. Il est possible de trouver deux opérateurs ce que l'on appelle la méthode inverse (inverse scattering) [9]. Prenons tics" n° 515 [7] ainsi que "Solitons", Topics in Current Physics [8]. Les de l'article de revue de Scott et al. [3] sur ce sujet, ainsi que celle de donner une liste exhaustive : on pourra cependant recommander la lecture grables est devenu beaucoup trop important pour qu'il soit possible d'en bien connue de solitons [7][8]. Le nombre des équations non linéaires intéla redécouverte de certaines notions, notamment la notion devenue maintenant Gordon [5] et l'équation de Korteweg de Vries [6]), avec dans leur sillage pour la clarté de l'exposition l'exemple simple de l'équation KdV : théories intégrables classiques sont maintenant analysées dans le cadre de deux livres : Bäcklund Transformations, dans "Lectures Notes in Mathemaintégrables (dont les plus connues sont sans conteste l'équation de Sinepement initial des travaux concernant les équations non linéaires classiques des recherches approfondies ces dernières années, cela est dû au dévelop-Si les problèmes d'intégrabilité commencent à susciter un intérêt et

$$L = -\frac{\partial^2}{\partial x^2} + \phi \quad \text{et}$$

 $B = -4i \frac{\partial^3}{\partial x} + 3i \left(\phi \frac{\partial}{\partial x} + \frac{\partial}{\partial x} \phi \right) \qquad \text{tels que l'équation non linéaire précédente s'écrive } L_t = [B,L]. B étant auto-adjoint, l'équation précédente implique que les valeurs propres de L sont indépendantes du temps (d'où le nom de déformations isospectrales) : <math>L.\psi = E.\psi$. Les fonctions propres évoluent selon $i\psi_t = B.\psi$, en effet l'équation $L_t = [B,L]$ peut être vue comme la relation de compatibilité entre $L\psi = E.\psi$ et $i\psi_t = B.\psi$; $-\psi_{xx} + \phi.\psi = E\psi$ est une équation de diffusion (équation de Schrödinger) dans un potential ϕ : son spectre sera composé d'une part d'une partie discrète (états liés) et d'une partie continue (états de diffusion). Pour ces états de diffusion nous pouvons écrire

$$\psi(x,k,t) \simeq a(k,t) e^{-ikx} + b(k,t) e^{ikx}$$
 pour $x \to +\infty$
 $\psi(x,k,t) \simeq T(k,t) e^{-ikx}$ pour $x \to -\infty$

Du comportement pour x ++ ∞ , conjointement à l'équation $i\psi_t$ = B, ψ , nous tirons

$$\frac{\partial b}{\partial t} = 4ik^3.b \quad , \qquad \frac{\partial a}{\partial t} = -4ik^3.a$$
 c'est-A-dire b(k,t) = $e^{4ik^3t}.b(k,0)$ et a(k,t) = $e^{-4ik^3t}.a(k,0)$. Les données de diffusion évoluent donc de façon très simple et l'on doit maintenant chercher à construire le potentiel $\phi(x,t)$ correspondant. Ceci est réalisé grâce à l'équation intégrale de Gel'fand-Levitan [10] :

$$g(x,y,t) + K(x+y,t) + \int_{x} K(y+y',t)g(x,y',t)dy' = 0$$

où K(x,t) est la transformée de Fourier des données de diffusion $\langle \frac{b}{a} \ (k,t) \rangle$ et son équivalent discret), le potentiel étant donné par $\varphi(x,t) = -2 \frac{\partial}{\partial x} \frac{\partial}{\partial x} g(x,xt)$; c'est l'ensemble de ces étapes (association au problème non linéaire d'un problème linéaire de diffusion, calcul d'évolution sur le problème linéaire, retour au problème non-linéaire) qui constitue la méthode inverse.

Zakharov et Faddeev établirent la complète intégrabilité de l'équation KdV en indiquant [11] que de nouvelles variables dépendant des données de diffusion définissaient un jeu de variables canoniques : en l'occurrence $P(k,t)=-k/\pi \ln(1-\left|\frac{b}{a}\right|^2)$ et Q(k,t)=arg b(k,t) (et leur analogues discrets). Ces variables sont du type action-angle : $P((k,t)=P(k,0),\ Q(k,t)=8k^3t$ (les variables action-angle décrivant les tores dans l'espace des phases).

(b) Nombre infini de lois de conservation ; algêbre d'opérateurs qui commutent avec un opérateur donné.

Une propriété importante de ces équations intégrables est l'existence, pour celles-ci, d'un nombre infini de lois de conservation : dans l'exemple de l'équation KdV nous avons ainsi une infinité de quantités conservées $I_n \cdot I_{-1} = \int u \ dx$,

$$I_1 = \int \left(\frac{u_X^2}{2} + u^3\right)$$
 dx ... et $I_n = \int \chi (u_1 u_X, ... u^{(n-1)})$ dx

où χ est une expression polynomiale de ces divers arguments. Cette propriété peut être comprise à partir de l'existence de la paire de Lax précédente en

ffet :

$$iL_t = [B,L] \Rightarrow L(t) = e^{iBt} L(0) e^{-iBt}$$

En prenant les "traces" (nous sommes en dimension infinie) ${\rm TrL}^n$, on constate immédiatement que ${\rm TrL}^n(t) = {\rm TrL}^n(0)$. Si l'on note Q_n , la quantité $Q_n(u,u_x,\ldots) = \frac{\delta I_n}{\delta x} \frac{\delta I_n}{\delta u(x)}$, les équations $u_t = Q_n(u,u_x,\ldots)$ forment un ensemble d'équations, elles aussi complètement intégrables, et sont appelées équations KdV d'ordre supérieur. Toutes ces équations admettent une paire de Lax : elles s'écrivent toutes $L_t = [A_n,L]$. Par exemple (en enlevant le facteur i)

$$A_{1} = -4 \frac{d^{3}}{dx^{3}} + 3 \left(u \frac{d}{dx} + \frac{d}{dx} u \right) ,$$

$$A_{2} = 16 \frac{d^{5}}{dx^{5}} - 20 \left(u \frac{d^{3}}{dx^{3}} + \frac{d^{3}}{dx^{3}} u \right) + 30u \frac{d}{dx} u + 5 \left(u_{xx} \frac{d}{dx} + \frac{d}{dx} u_{xx} \right) ...$$

Il est possible de donner une procédure pour obtenir par récurrence toute cette famille $\mathbf{A}_1, \mathbf{A}_2, \mathbf{A}_3, \dots \mathbf{A}_n$...

En effet posons $L=-\frac{d^2}{dx^2}+u$ et $A_n=\sum\limits_{\ell=0}^{2n+1}v_{\ell},\frac{d^{\ell}}{dx^{\ell}}$ où v_{ℓ} est un polynôme en u et ses dérivées u', u" ... et nous choisirons de plus v_{2n+1} = cte et v_{2n} =0. Posons de plus $\alpha_n=[A_n,L]$. L'équation KdV d'ordre n s'écrit $u_{\ell}=\alpha_n$. Considérons la relation suivante définissant partiellement la suite A_n :

$$\begin{split} &A_{n+1} = 4A_n.L + P_n.A_o + q_n \\ &[A_{n+1},L] = [4A_nL + p_nA_o + q_n,L] \\ &= 4\alpha_nL + [p_n,L] \cdot \frac{d}{dx} + p_n [A_o,L] + [q_n,L] \\ &= 4\alpha_n \left(-\frac{d^2}{dx^2} + u \right) + 2p_n' \cdot \frac{d^2}{dx^2} + p_n' \cdot \frac{d}{dx} + p_n u' \\ &+ 2q_n' \cdot \frac{d}{dx} + q_n'' = (-4\alpha_n + 2p_n') \frac{d^2}{dx^2} + (p_n'' + 2q_n') \frac{d}{dx} + (4u\alpha_n + u'p_n + q_n'') \end{split}$$

Nous voyons que si nous imposons les deux conditions

$$2p_n' - 4\alpha_n = 0$$
 et $2q_n' + p_n'' = 0$

alors le commutateur $[A_{n+1},L]$ est un nombre pur , fonction de u et de ses dérivées (pas d'opérateur $\frac{d^m}{dx^m})$, qui s'identifiera à α_{n+1} à condition de

poser $\alpha_{n+1} = 2\alpha' \int \alpha_n dx + 4\alpha\alpha_n - \alpha''$

Ainsi avec les conditions initiales

$$A_0 = \frac{d}{dx}$$
, $\alpha_0 = 1$

btient-on successivement :

$$\alpha_{1} = 6uu^{1} - u^{11} \Rightarrow \int^{X} \alpha \, dx = 3u^{2} - u^{11}$$

$$\alpha_{2} = 2u^{1} (3u^{2} - u^{11}) + 4u (6uu^{1} - u^{11})$$

$$= u^{(5)} - 10uu^{11} - 20u^{1}u^{11} + 30u^{1}u^{2}$$

$$\Rightarrow \int^{X} \alpha_{2} \, dx = u^{(4)} - 10uu^{11} - 5u^{12} + 10u^{3}$$

$$\alpha_{3} = 2u^{1} (u^{(4)} - 10uu^{11} - 5u^{12} + 10u^{3})$$

$$+ 4u(u^{(5)} - 10uu^{11} - 20u^{1}u^{11} + 30u^{1}u^{2})$$

$$- (u^{(7)} - 10uu^{(5)} - 20u^{1}u^{(4)} - 10u^{1}u^{11}$$

$$- 20u^{1}u^{(4)} - 20u^{1}u^{11} - 40u^{1}u^{11} + 30u^{11}u^{2}$$

$$+ 60uu^{1}u^{11} + 60u^{12} + 120uu^{1}u^{11})$$

$$= -u^{(7)} + 14uu^{(5)} + 42u^{1}u^{(4)} + 70u^{11}u^{11} - 70u^{2}u^{11}$$

$$- 280uu^{1}u^{11} - 70u^{13} + 8^{13}u^{1}u^{3}$$

$$\Rightarrow \int^{1} \alpha_{3} \, dx = -u^{(6)} + 14uu^{(4)} + 28u^{1}u^{11} + 21u^{12}$$

$$- 70u^{2}u^{11} - 70uu^{12} + 35u^{4}$$

et parallèlement

$$\begin{split} A_1 &= 4A_0L + 2\int \alpha_0 dx. \frac{d}{dx} - \alpha_0 = -4\frac{d^3}{dx^3} + 6u\frac{d}{dx} + 3u' \\ A_2 &= 4A_1L + 2\int \alpha_1 dx. \frac{d}{dx} - \alpha_1 \\ &= 4\left(-4\frac{d^3}{dx^3} + 6u\frac{d}{dx} + 3u'\right)\left(-\frac{d^2}{dx^2} + u\right) + 2(3u^2 - u'')\frac{d}{dx} \\ &= 6uu' + u''' = 16\frac{d^5}{dx^5} - 40u\frac{d^3}{dx^3} - 60u'\frac{d^2}{dx^2} + (30u^2 - 50u'')\frac{d}{dx} \end{split}$$

$$A_{3} = -64 \frac{d^{7}}{dx^{7}} + 224 u \frac{d^{5}}{dx^{5}} + 560 u^{1} \frac{d^{4}}{dx^{4}}$$

$$+ (820u^{11} - 280u^{2}) \frac{d^{3}}{dx^{3}} + (700u^{11} - 840uu^{1}) \frac{d^{2}}{dx^{2}}$$

$$+ (322u^{(4)} - 700uu^{11} - 490u^{12} + 140u^{3}) \frac{d}{dx}$$

$$+ (63u^{(5)} - 210uu^{11} - 420u^{1}u^{11} + 210u^{1}u^{2}).$$

semblable appelée équation KdV modifiée. Au côté de l'équation KdV existe une équation complètement intégrable assez

 u_{ϵ} = 6uu'-u"', au KdV modifié d'ordre 1, χ_{ϵ} = $3\chi^2 \cdot \chi' - \chi'''$). $u = \chi' + \chi^2$. (typiquement on passe de cette manière du KdV d'ordre 1, aux équations KdV modifiées en faisant le changement u → X défini par leurs récurrences éventuelles associées. En fait on passe des équations KdV Intéressons-nous aux équations KdV-modifiée, d'ordre n quelconque, et

Introduisons
$$\gamma_n = 2 \int_{-\alpha_n}^{\alpha} dx \cdot \chi - \alpha_n$$
 et calculons $\gamma_n'' + 2\chi \cdot \gamma_n'$:

$$\begin{split} \gamma_{\mathbf{n}}^{"+2\chi} \cdot \gamma_{\mathbf{n}}^{"} &= \left(2\int\limits_{0}^{\infty} \alpha_{\mathbf{n}} \mathrm{d}\mathbf{x} \cdot \chi + 2\alpha_{\mathbf{n}} \cdot \chi - \alpha_{\mathbf{n}}^{*}\right)^{*} + 2\chi \left(2\int\limits_{0}^{\infty} \alpha_{\mathbf{n}} \mathrm{d}\mathbf{x} \cdot \chi^{*} + 2\alpha_{\mathbf{n}} \cdot \chi - \alpha_{\mathbf{n}}^{*}\right) \\ &= -\alpha_{\mathbf{n}}^{"+4}\alpha_{\mathbf{n}} \cdot \chi^{*+2}\int\limits_{0}^{\infty} \mathrm{d}\mathbf{x} \cdot \chi^{"+4}\alpha^{2} \cdot \mathbf{n}^{*+4}\int\limits_{0}^{\infty} \alpha_{\mathbf{n}} \mathrm{d}\mathbf{x} \cdot \chi \chi^{*} \end{split} .$$

Comparons cette expression a on+1:

$$\alpha_{n+1} = 2u' \int \alpha_n dx + 4u \cdot \alpha_n - \alpha_n''$$

$$= 2(\chi'' + 2\chi \chi'), \int \alpha_n dx + 4(\chi' + \chi^2) \alpha_n - \alpha_n''$$

nous voyons que nous obtenons l'égalité

$$\alpha_{n+1} = \gamma_n^n + 2\chi \cdot \gamma_n^n \qquad .$$

d'ordre n quelconque à partir de la récurrence sur les KdV d'ordre n quel-Ecrire $u_t = \chi_t^r + 2\chi_*\gamma_t = \alpha_{n+1}$ ceci résout donc le problème de la récurrence sur les équations KdV modifiées , revient donc à écrire : $\chi_t = \gamma_n'$;

nous recherchons les A sous la forme d'algèbre d'opérateurs qui commutent avec un opérateur donné : en effet si Cette méthode, pour obtenir la suite des \mathbb{A}_n est très liée à la notion

$$A = \sum_{k=0}^{2n+1} v_k \cdot \frac{d^k}{dx^k} , \quad \text{tel que (equations KdV statiques)}$$

qui les déterminent) : $[A_n,L]$ = 0 , nous obtenons les relations suivantes sur les v_{ℓ} (relations

$$2v_{\ell-1}^{i} + v_{\ell}^{ii} + \sum_{k=1}^{2n+1-\ell} c_{\ell+k}^{\ell} u^{(k)} \cdot v_{\ell+k} = 0$$

récurrences précédentes auxquelles on ajoute la condition α_n = 0. Cet ensemble d'équations, comme l'on peut s'en convaincre, est équivalent aux

KdV et KdV modifiées d'ordre n (voir Appendice). quent également aux transformées par self-similarité [43] des équations Ces notions de récurrences, et d'algèbre d'opérateurs qui commutent, s'appli-

lc) Transformations de Bäcklund

l'équation S-G, la solution \(\psi \) du système : Bäcklund [12], Si nous prenons (toujours pour des raisons de simplicité) l'équation de Sine-Gordon, $\phi_{xt} = \sin\phi$, alors si ϕ est une solution de intégrables est l'existence d'une transformation appelée transformation de Une propriété tout-à-fait remarquable sur les équations complètement

$$\begin{cases} \psi_{x} = \phi_{x} + 2a.\sin\left(\frac{\psi+\phi}{2}\right) \\ \psi_{E} = -\phi_{E} + \frac{2}{a}.\sin\left(\frac{\psi-\phi}{2}\right) \end{cases}$$

l'on appelle une transformation de Bäcklund infinitésimale [13] en supposant est encore solution de l'équation non-linéaire. On introduit aussi ce que a petit et en développant \(\psi\$ en série de Taylor :

$$\psi(\mathbf{x},t) = \sum_{\mathbf{n}=0}^{\infty} \psi_{\mathbf{n}}(\mathbf{x},t) \cdot \mathbf{a}^{\mathbf{n}}$$
 (1)

$$\sum_{\mathbf{n}=\mathbf{0}}^{\infty} \psi_{\mathbf{n},\,\mathbf{t}} \cdot \mathbf{a}^{\mathbf{n}} = -\phi_{\mathbf{t}} + \frac{2}{a} \sin\left(\frac{1}{2} \sum_{\mathbf{n}=\mathbf{0}}^{\infty} \psi_{\mathbf{n}} \mathbf{a}^{\mathbf{n}} - \phi\right)$$

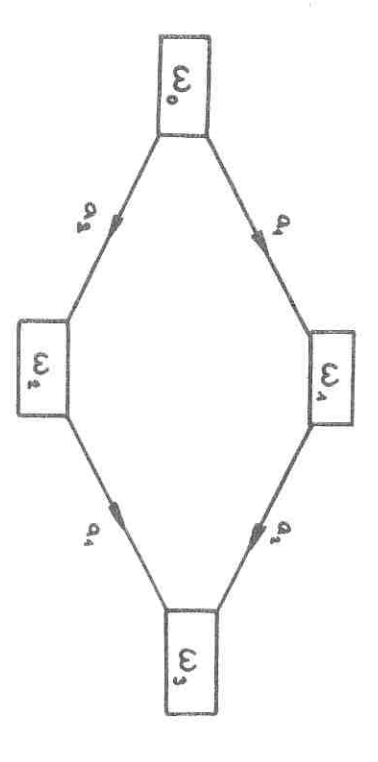
ce qui implique en développant selon les puissances de a : $\psi_0 = \phi$, $\psi_1 = 2\alpha$, $\psi_2 = 2\phi_{\text{tt}}$, $\psi_3 = 2\phi_{\text{tt}} + \frac{1}{3}\phi_1^3$,... A partir de la conservation de l'énergie

$$(\frac{1}{2}\psi_{\mathbf{x}}^2)_{\mathbf{t}} + (\cos\psi)_{\mathbf{x}} = 0$$
 (2)

on peut en substituant l'expression (1) dans l'équation précédente (2)(les ψ_n étant connus) obtenir ainsi un nombre infini de lois de conservation :

$$I_0 = \frac{1}{2} \phi_X^2$$
 $I_1 = 2\phi_{tttx} \cdot \phi_x + 4\phi_{ttx} \phi_{tx} + \phi_t^2 \phi_{tx} \phi_x$ etc...[3] .

La notion de transformation de Bäcklund infinitésimale est donc reliée directement à l'existence d'un nombre infini de lois de conservation. La transformation de Bäcklund permet de trouver des solutions à N-solitons de l'équation de Sine-Gordon (Barnard [14]) conduisant ainsi aux formules bien connues d'Hirota [15], qui ont un caractère manifestement algébrique. Une propriété fondamentale de la transformation de Bäcklund est exprimée par le théorème de permutabilité qui est souvent schématisé par la figure suivante:



Ce théorème signifie que si l'on applique une transformation de Bäcklund de paramètre \mathbf{a}_1 , puis une transformation de paramètre \mathbf{a}_2 , le résultat est le même que si l'on applique d'abord celle de paramètre \mathbf{a}_2 , puis celle de paramètre \mathbf{a}_1 . De plus une transformation de Bäcklund demande, si l'on veut passer par exemple de la solution ω_0 à ω_1 , d'effectuer des quadratures, cependant entre les quatre solutions de la figure précédente, existe la relation suivante, purement algébrique :

$$\operatorname{tg}\left(\frac{\omega_3^{-\omega_0}}{4}\right) \ = \ \frac{a_1^{+}a_2}{a_1^{-}a_2} \cdot \operatorname{tg}\left(\frac{\omega_1^{-\omega_2}}{4}\right)$$

(Bianchi [16]) .

Une telle propriété permet de comprendre, très naïvement, la spécificité de ces modèles : ce sont des modèles pour lesquels, entre autres, existe une véritable notion d'addition des solutions (l soliton + l soliton). Cette propriété fondamentale peut être vue dans un cadre plus systématique, faisant le lien entre l'équation KdV et les variétés abéliennes [17]. Cette description à l'aide des variétés abéliennes est particulièrement claire lorsque l'on compare les formules (2.3.11), (2.3.12) de [17] et les considérations qui seront développées dans le paragraphe II.2a) de cette note, où l'on verra également apparaître des aspects de géométrie algébrique au travers de relations fonctionnelles associées à des variétés abéliennes (Jacobiennes). La transformation de Bäcklund peut être obtenue de façon simple comme indiqué par le diagramme suivant dans le cas de l'équation KdV:

$$(\psi(\mathbf{x},t),\lambda) \rightarrow u(\mathbf{x},t) \text{ transformation de Bäcklund}$$

$$(\psi^{\dagger}(\mathbf{x},t),\lambda) \rightarrow u^{\dagger}(\mathbf{x},t)$$

$$\mathbf{avec} \quad \frac{\psi_{\mathbf{x}}}{\psi} = -\frac{\psi_{\mathbf{x}}^{\dagger}}{\psi^{\dagger}}$$

Ces remarques sont, en fait, générales et la transformation de Bäcklund peut, sur toutes les équations non linéaires connues, être vue comme associée à une transformation simple sur la solution du problème de diffusion [7]. Enfin la transformation de Bäcklund possède des propriétés spectrales simples. Exprimée dans les variables de diffusion a et b, la transformation de Bäcklund donne : $a(k,t) + a(k,t) \cdot \frac{ik+\eta}{ik-\eta}$, b(k,t) + b(k,t). La composition de transformation de Bäcklund correspond à une multiplication de facteurs tel que $ik+\eta/ik-\eta$, par exemple :

$$a(k,t) = \alpha(k,t) \frac{N}{n} \frac{k-i\chi_n}{k+i\chi_n}$$

où $\alpha(k,t)$ correspond aux états de diffusion et le produit aux états liés. La transformation de Bäckdund revient donc à rajouter un état lié. D'autre part, comme ln $a(k,t) = \sum\limits_{n=1}^{\infty} \Gamma_n k^{-n}$ [18], où Γ_n sont les constantes de mouvements, on peut réécrire Γ_n comme la somme d'un terme provenant des états de diffusion et d'un terme provenant des états liés : $-\frac{2}{n}\sum\limits_{m=1}^{N} (i\chi_m)^n$ Les quantités conservées Γ_n ont donc des expressions très simples en fonction des impulsions des solitons.

ld) Le point de vue de la géométrie différentielle

Les équations non linéaires intégrables, comme par exemple l'équation de Sine-Gordon, étaient apparues il y a déjà fort longtemps dans le cadre de la géométrie différentielle à propos de la recherche de surfaces de courbure constante.

Sasaki a reformulé [19] ces propriétés de courbure constante des équations intégrables, dans un langage plus moderne, en termes de connection: par exemple, dans le cas de l'équation de Sine-Gordon, il introduit la connection suivante :

l'équation de Sine-Gordon revient alors simplement à écrire d^2=0=d Ω + Ω - Ω . En fait ceci revient à une réécriture du système A.K.N.S. [20] (η est un paramètre spectral)

$$\begin{pmatrix} \frac{\partial v_1}{\partial t} \\ \frac{\partial v_2}{\partial t} \end{pmatrix} = \begin{pmatrix} \frac{\cos u}{4\eta} & \frac{\sin u}{4\eta} \\ \frac{\sin u}{4\eta} & -\frac{\cos u}{4\eta} \end{pmatrix} \begin{pmatrix} v_1 \\ v_2 \end{pmatrix}$$

$$\begin{pmatrix} \frac{\partial v_1}{\partial t} \\ \frac{\partial v_2}{\partial t} \end{pmatrix} = \begin{pmatrix} \eta & -\frac{u}{2} \\ \frac{u}{2} & -\eta \end{pmatrix} \begin{pmatrix} v_1 \\ v_2 \end{pmatrix}$$

La condition d $\Omega_1+\Omega_0\Omega=0$ n'est rien d'autre que la cohérence entre ces deux systèmes d'équations (paire de Lax). Cette nouvelle formulation sert, entre autres, à mettre en évidence sur ces problèmes, le groupe $SL(2_{\mathbb{R}})$ comme groupe d'invariance de l'équation. En effet on remarque que comme $Tr\Omega=0$, Ω ne dépend que de trois l-formes e ,e ,e t la condition $d\Omega+\Omega_0\Omega=0$ s'écrit

où l'on reconnaît dans Ce les constantes de structures correspondant à SL(2,IR).

$$([T_a, T_b] = c_{ab}^c, T_c)$$
.

Divers auteurs [21] ont utilisé le langage des formes différentielles extérieures et des transformations de Lie généralisées, pour analyser différents aspects des systèmes intégrables notamment les lois de conservation de ces modèles, ou encore les transformations de Bäcklund. Ceci les amenés à introduire les notions de structure de prolongation et de pseudo-potentiel.

Nous ne rentrerons pas dans les détails de cette approche et de ces connexions avec toutes les idées et structures précédentes, ceci serait beaucoup trop fastidieux. Toujours de ce point de vue des transformations de Lie généralisées, il faut signaler l'article de Kumei qui fait le lien avec les idées de Lax [22].

2) Les problèmes à n corps

2a) Les problèmes à n corps classiques et les équations aux dérivées partielles non linéaires; les problèmes à n corps quantiques

Les solutions de type soliton de l'équation KdV ont un pôle double. Kruskal [23] fut le premier à étudier le mouvement de ces pôles. Le caractère de pôle double motivait l'étude de solutions rationnelles de l'équation KdV sous la forme :

$$u(x,t) = 2 \sum_{j=1}^{N} (x-x_{j}(t))^{-2}$$
.

Une substitution dans l'équation KdV conduit au système d'équations :

$$\begin{aligned} \mathbf{x}_{j} &= 6 \sum_{\mathbf{k} \neq j} (\mathbf{x}_{j} - \mathbf{x}_{\mathbf{k}})^{-2} \\ \text{et} \quad \sum_{\mathbf{k} \neq j} (\mathbf{x}_{j} - \mathbf{x}_{\mathbf{k}})^{-3} = 0 \quad \text{où } j, k=1...N . \end{aligned}$$

Dans le cas plus simple de l'équation de Burgers Hopf ($u_t^{-2}u_x^{-u} = 0$, autre équation intégrable réductible à l'équation de la chaleur) les solutions rationnelles,

$$u(x,t) = \sum_{j=1}^{N} (x-x_{j}(t))^{-1}$$

conduisent, par substitution, aux équations

$$\mathbf{x}_{j} = -2 \sum_{\mathbf{k} \neq j} (\mathbf{x}_{j} - \mathbf{x}_{\mathbf{k}})^{-1}$$

$$\ddot{\mathbf{x}}_{\mathbf{j}} = -8 \sum_{\mathbf{k} \neq \mathbf{j}} (\mathbf{x}_{\mathbf{j}} - \mathbf{x}_{\mathbf{k}})^{-3}$$

La seconde équation correspond au problème unidimensionnel à n corps,

$$H = \frac{1}{2} \sum_{j} P_{j}^{2} + g \sum_{j \neq k} (x_{j} - x_{k})^{-2}$$

équation, on ne s'étonnera pas que ces problèmes admettent [24] eux aussi Du fait qu'il est possible de rendre compatible la première et la seconde un formalisme de Lax, mais L et A sont, maintenant, des matrices N×N:

$$\begin{split} & L_{jk} = \delta_{jk} \cdot P_{j} + i \sqrt{g} \left(1 - \delta_{jk} \right) \cdot (x_{j} - x_{k})^{-1} \\ & B_{jk} = -i \sqrt{g} \gamma_{jk} \sum_{1 \neq j} \left(x_{j} - x_{1} \right)^{-2} + i \sqrt{g} \left(1 - \delta_{jk} \right) (x_{j} - x_{k})^{-2} \\ & A = \frac{1}{2} \left(B - B^{+} \right) . \end{split}$$

Le système est un système hamiltonien complètement intégrable ayant 2N degrés

 $\ddot{\mathbf{x}}_{1} = \int_{\dot{y}_{1}} \phi(\mathbf{x}_{1} - \mathbf{x}_{1})$, soit compatible avec le système d'équations, demander quelles sont les fonctions impaires ϕ et ψ , tel que le système En fait on peut placer ce problème dans un contexte plus large, et se

$$\mathbf{x}_{i} = \sum_{j \neq i} \psi(\mathbf{x}_{i} - \mathbf{x}_{j}) \quad .$$

Ceci se produit, si et seulement si, \(\psi \) satisfait l'équation fonctionnelle :

$$0 = -\psi'(x)\psi(z)-\psi'(x)\psi(y)+\psi'(z)\psi(x)+\psi'(z)\psi(y)$$

pour x+y+z=0 et si $\phi(z) = 2\psi(z)\psi'(z)$.

La solution de cette équation est la fonction P de Weierstrass. On a également comme solution les dégénérescences de cette fonction P :

$$x^{-2}$$
, sh x et sin x .

Nous considérons l'hamiltonien usuel : Restons dans le domaine des problèmes à n corps, mais quantiques maintenant.

$$H = -\sum_{\hat{i}=1}^{N} \frac{\partial^{2}}{\partial x_{\hat{i}}^{2}} + \sum_{\hat{i}\neq \hat{j}} V(x_{\hat{i}}^{-}x_{\hat{j}}^{-})$$

et nous nous posons le problème de trouver V telle que la fonction d'onde du fondamental ait une forme de fonction d'onde de Bijl-Dingle-Jastrow [25] [26] :

$$\psi = \prod_{i>j} \psi(x_i-x_j) \;\;; \;\; \text{notons} \;\; \varphi = \frac{\psi^*}{\psi} \;\;,$$

$$\varphi^* = \frac{\psi^*}{\psi} - \left(\frac{\psi^*}{\psi}\right)^2 \;\;\;. \;\; \text{La partie d'énergie cinétique opérant sur cette}$$

 $-\sum_{\mathbf{i}} \frac{\vartheta^2}{\vartheta \mathbf{x_i}^2} \Psi = \left\{-2\sum_{\mathbf{i} > \mathbf{j}} (\phi^{\dagger}(\mathbf{x_i} - \mathbf{x_j}) + \phi^2(\mathbf{x_i} - \mathbf{x_j}))\right\}$

fonction d'onde donne :

$$\frac{1}{2} \psi = \left\{ -2 \sum_{i>j} (\phi^{\dagger}(\mathbf{x}_{i} - \mathbf{x}_{j}) + \phi^{-}(\mathbf{x}_{i} - \mathbf{x}_{j})) \right.$$

$$2 \cdot \left. \sum_{\substack{\text{permit} \\ \text{de } i \neq k)}} \phi(\mathbf{x}_{i} - \mathbf{x}_{j}) \phi(\mathbf{x}_{j} - \mathbf{x}_{k}) \right\} \psi$$

Pour i,j,k fixés, la contribution dans la seconde somme est typiquement

$$\phi(x)\phi(y)+\phi(y)\phi(z)+\phi(z)\phi(x)$$
 pour $x+y+z=0$

et l'on aimerait qu'elle s'écrive

s'écrire au total $\sum_{i\neq j} V(x_i-x_j)$. On peut là encore chercher ϕ et f vérifiant cette équation fonctionnelle, et l'on retrouve finalement : f(x)+f(y)+f(z), pour avoir effectivement une expression qui puisse

$$v(x) = g \frac{\pi^2}{L^2} (\sin \frac{\pi}{L} x)^{-2}$$

 $V(x) = \omega^2 x^2 + g/x^2$

 $\nabla(x) = -2C\delta(x)$, le fameux modèle de particules en interactions δ [27][27] mais également la fonction P de Weiestrass, et ses dégénérescences et aussi idées, basée sur la méthode de séparation des variables (variables de Jacobi), que l'on peut résoudre par l'ansatz de Bethe. Une généralisation de ces

15 -

impose des restrictions sur le potentiel pour des problèmes en dimension supérieure. C'est ainsi que P.J. Gambardella [29] a pu pour, les exemples suivants,

$$\begin{aligned} v_1 &= \lambda \sum_{i \neq j} \frac{1}{(r_{ij})^2} &, & v_2 &= \lambda \sum_{k} \sum_{i \neq j} \frac{r_{ki} \cdot r_{kj}}{(r_{ki})^2 \cdot (r_{kj})^2} \\ v_3 &= \lambda \sum_{i \neq k} \sum_{j \neq 1} \frac{r_{ik} \cdot r_{j1}}{(r_{ik})^2 \cdot (r_{j1})^2} &, & \end{aligned}$$

exprimer certaines fonctions propres à l'aide d'opérateurs a et a tout-à-fait analogues à ceux de l'oscillateur harmonique.

En fait le rôle joué par l'oscillateur harmonique peut encore être renforcé si l'on considère le point de vue et les démonstrations de P.Deift, Lund et E.Trubowitz [30][31] : les problèmes intégrables dont le système linéaire associé est un opérateur du second ordre (ceci inclue KdV, Schrödinger non linéaire, Sine Gordon, la chaîne d'Heisenberg, les équations de Thirring massif...) sont tous (en un sens à préciser) le même modèle, des oscillateurs harmoniques avec un nombre fini de contraintes quadratiques. Nous ne citerons que deux exemples : tout d'abord l'équation de Schrödinger non linéaire à laquelle on peut associer [31] les équations des oscillateurs harmoniques contraints suivantes :

$$x_k = -i k.x_k - ([1, x_1^2).x_k]$$

$$\dot{Y}_{k} = i k \cdot Y_{k} + (\sum 1, Y_{1}^{2}) \cdot X_{k}$$

D'autre part, les équations plus simples,

$$\mathbf{X}_{\underline{i}} = \lambda_{\underline{i}} \mathbf{X}_{\underline{i}} - \mathbf{X}_{\underline{i}} \left(\sum_{j=1}^{n} \mathbf{X}_{\underline{j}}^{2} \right)$$
,

sont reliés aux équations KdV : si $x_1, \dots x_n$ sont solutions de l'équation précédente, alors, $u = -\sum\limits_{i=1}^{n} x_i^2 + C$ est solution de l'équation stationnaire KdV d'ordre n [32].

2b) Les espaces symétriques et les problèmes à n corps

Ces problèmes unidimensionnels (classiques ou quantiques) à n corps, dont l'hamiltonien est H = $\frac{1}{2}\sum\limits_{i}p_{i}^{2}+\sum\limits_{i}v(x_{i}-x_{j})$ ont été étudiés par

Olshanetsky et Perelomov [33] en ramenant ces problèmes à des mouvements le long de géodésiques dans des espaces symétriques de courbure constante, positive ou négative. Les espaces symétriques demandent pour pouvoir être définis rigoureusement d'introduire diverses notions préalables telles que sous-algèbre de Cartan, chambre de Weyl.... Il sortirait du cadre de cette note de définir toutes ces notions (on pourra se reporter par exemple au livre d'Helgason [34]). Illustrons dans un premier temps de façon très simple les mécanismes mis en cause.

Considérons un élément du groupe $GL(n_*R)$, noté A, (les éléments de cette matrice sont notés $a_{i,j}$) et considérons sa représentation polaire (0 et 0' sont dans le groupe orthogonal) : A=0.X.0' (les éléments de la matrice diagonale X sont notés x_i . La métrique $ds^2=\sum\limits_{i,j}d~a_{i,j}^2$ peut être réécrite (pour plus de détails consulter le livre de L.K.Hua Harmonic Analyses several complex variables in the classical domain, Rhodes Island 19): $ds^2=\sum\limits_{i,j}d~a_{i,j}^2=\sum\limits_{i}dx_i^2+\sum\limits_{i,j}(x_i-x_j)^2.\delta h_{i,j}^2$

où h., sont des paramètres ("angles") associés à 0 , Si l'on écrit l'opérateur de Laplace-Bertrami, on a :

$$\Delta = \sum \frac{\partial^2}{\partial a_{i,j}^2} = + \sum_{i=1}^{N} \frac{\partial^2}{\partial x_i^2} + \sum \frac{L_{i,j}^2}{(x_i - x_j)^2}$$

(où les $L_{i,j}$ sont des éléments correspondant à ceux du groupe orthogonal). Nous voyons que le fait de ne retenir que la partie X dans la matrice A fait prendre à l'opérateur de Laplace une forme plus compliquée (on reconnait facilement le problème à N corps quantique associé au potentiel en $1/x^2$). Cependant cet opérateur, un peu compliqué, n'est jamais que le reflet d'un laplacien très simple. On comprend que le problème à n corps qui en découle ait des propriétés très particulières. Rentrons maintenant un peu plus dans les détails.

Pour fixer les idées prenons l'exemple simple suivant : soit G l'algèbre de $SL(n,\mathbb{Z})=G$ (matrice $n\times n$ de trace nulle) ; c'est une algèbre de Lie semisimple, K sa sous-algèbre maximale compacte est l'algèbre des matrices antihermitiennes (le groupe K est l'ensemble des matrices unitaires) ; L est le complément orthogonal de K dans G, en l'ocurrence L est l(ensemble des matrices hermitiennes. H, la sous-algèbre commutative maximale (sous-algèbre commutative maximale (sous-algèbre des matrices hermitiennes. H) a sous-algèbre commutative maximale (sous-algèbre des matrices hermitiennes.

de Cartan) de L, est la sous-algèbre des matrices diagonales. Si l'on introduit les matrices e_{ij} dont les éléments sont δ_{ij} (tous les éléments a_{kl} sont nuls sauf k=i j=l), on a les relations pour h \in H:

$$[h,e_{i,j}] = \lambda_{i,j}(h).e_{i,j}$$

$$[e_{i,j},e_{j,i}] = e_{i,j}-e_{j,j}$$

$$[e_{i,j},e_{j,k}] = N_{i,k}.e_{i,k}$$

L'espace homogène $X=G/K=SL(n,\mathbb{Z})/SU(n)$ est un espace symétrique. On définit également Λ un sous ensemble de \Re (Λ est la chambre de Weil positive relativement au système de racines). Si on désigne par "exp" la transformation canonique de l'algèbre au groupe, tout élément de X peut se décomposer sous la forme :

 $x = uhu^{-1}$ où $u \in K$ et $h \in \exp \Lambda$

(De façon imagée on peut dire que h est la partie radiale et u la partie angulaire).

Olshanetsky et Perelomov ont pu montrer [33] que la condition pour qu'un chemin $\mathbf{x}(t)$ dans \mathbf{X} soit une géodésique, qui est $\frac{d}{dt}$ ($\mathbf{x}^{-1}\dot{\mathbf{x}}+\dot{\mathbf{x}}$ \mathbf{x}^{-1}) = 0 , est équivalente à l'existence d'une paire de Lax, $\dot{\mathbf{L}}=[\mathbf{L},\mathbf{M}]$, où $\mathbf{M}=\mathbf{u}^{-1}$.ù $\dot{\mathbf{C}}\dot{\mathbf{K}}$, et \mathbf{L} , dont la forme est plus compliquée, ne sera pas donnée ici appartient à $\dot{\mathbf{L}}$. Olshanetsky et Perelomov remarquent [33] que les potentiels \mathbf{l}/\mathbf{x}^2 , $\mathbf{l}/\mathbf{sh}^2\mathbf{x}$ sont associés à des métriques de trois espaces de Riemann symétriques, de courbure nulle, négative et positive. De plus les quantités $\mathbf{l}_{\mathbf{k}}$ = Tr $\mathbf{L}^{\mathbf{k}}$ coîncident pour les potentiels précédents avec les parties radiales d'opérateur de Laplace sur ces mêmes espaces .

Ces idées sont évidemment à rapprocher des idées de géométrie

Footnote

L'algèbre de Lie est appelée simple (respectivement semi-simple) si elle ne contient pas d'idéaux non triviaux (respectivement d'idéaux non triviaux commutatifs). Un sous-espace M de l'algèbre de Lie L est appelé idéal idéal si [L,M] C M. La structure des algèbres de Lie semi-simples s'avère liée à une notion géométrique fort remarquable : les systèmes de racine dans l'espace euclidien Rⁿ. (diagrammes de Dynkin).

différentielle auxquelles nous avons déjà fait allusion précédemment (les équations aux dérivées partielles non linéaires intégrables étant associées à des surfaces de courbure négative constante). Les espaces de courbure constante sont connus comme étant maximallement symétriques ; ils possèdent le nombre maximum d'isométries $\frac{N(N+1)}{2}$ pour une dimension de l'espace N.

Le rôle joué par les espaces symétriques dans les modèles complètement intégrables, a également été remarqué dans un domaine autre que les problèmes unidimensionnels classiques ou quantiques à n corps : la théorie des champs. Il a été montré par Eichenherr et Forger [35] qu'un ensemble infini de lois de conservation peut être obtenu pour des exemples qui correspondent à des structures géométriques d'espaces symétriques.

3) Liens entre les déformations isospectrales et isomonodromiques

surmontées pour la première fois par M. Painlevé, qui donna une classification dier les équations différentielles à points critiques fixes, c'est-à-dire dernier, à une époque où l'intégration des équations différentielles était points distincts, à distance finie, $t_1 \dots t_{n+2}$; considérons l'équation de la manière suivante : soient dans le plan de la variables complexe x, n+2 différentes, portant sur le problème de Riemann qui peut être systématisé mais n'a pas aboutit même à l'heure actuelle, R.Fuchs et L.Schlesinger [41][42] I,II,...VI). L'extension aux équations du troisième ordre a été esquisée [40] exhaustive de celles-ci (six équations types appelées actuellement Painlevé classiques. Pour le second ordre, on voit surgir de profondes difficultés Les équations à points critiques fixes sont réductibles aux transcendantes telles que le domaine d'uniformité de leurs intégrales peut être fixé a priori. l'un des problèmes principaux de l'analyse [38][39]. Il était naturel d'étunique statistique. Initialement ces idées naissent domaines des équations non linéaires, de la théorie des champs et de la mécaet surtout de Sato, Miwa, Jimbo [37]. Ces notions interviennent dans les trois de systèmes holonomes, pour l'essentiel grâce aux travaux de Mc Coy, T.T.Wu [36] récemment (pour la physique), la notion de déformation isomonodromique ou rencontrèrent ces mêmes équations dans le cadre de recherches complètement indépendants des constantes d'intégration, ou, en d'autres termes, les équations matricielle d'ordre m : côté de la notion de déformation isospectrale est apparue, assez à la fin du siècle

 $\frac{dy}{dx} = A \cdot Y , \quad A = \sum_{i=1}^{n+2} \frac{A_i}{x - t_i} \quad \text{où les } A_i \quad \text{sont des matrices } m \times m.$

On se propose de déterminer les A_i en fonction des t_i de manière que le groupe de monodromie $\binom{*}{}$ ne cesse de coı̈ncider avec un groupe donné. Les A_i constituent alors une solution du système matriciel d'ordre $m^2(n+2)$:

$$(t_j - t_i) \frac{dA_j}{dt_i} = [A_i, A_j]$$

$$\sum_{j=1}^{n+2} \frac{dA_j}{dt_i} = 0$$

Ce système différentiel se ramène pour m=2, n=1 aux équations de Painlevé il admet comme intégrales particulières des fonctions hypergéométriques de $t_1\dots t_n$.

Les équations de Painlevé ont été remarquées dans le modèle d'Ising bidimensionnel par Mc Coy et T.T.Wu [36]. Sato, Miwa et Jimbo ont pu rendre compte de ces propriétés pour le modèle d'Ising (dans la limite de scaling) dans le cadre d'un langage mélangeant les notions de fermions libres et de systèmes holonomes, et obtenir de précieuses informations sur les fonctions de corrélations à n points [37]. D'autre part, de très nombreuses relations ont été trouvées entre les déformations isospectrales et déformations isospondromiques, ne serait-ce que la réduction des équations non linéaires intégrables bien connues (Sine-Gordon, KdV, KdV-modifiée,...) aux

(*) Footnote

Une Equation matricielle d'ordre m admet m solutions $Y_{\underline{1}}(x)$. Lorsque l'on tourne autour d'une singularité de l'équation (telle que l'une des $t_{\underline{1}}$) on peut s'attendre à ce que $Y_{\underline{1}}(x)$ ne reste pas stable, mais, l'équation étant linéaire, se transforme en une combinaison linéaire de $Y_{\underline{1}}(x),\ldots,Y_{\underline{m}}(x)$. L'effet d'une rotation autour d'une singularité donnéepeut être symbolisée par la matrice correspondant à la transformation précédente. La composition des transformations associées à toutes les singularités engendre le groupe de monodromie.

transcendantes de Painlevé par transformation de self-similarité [43]. Les liens précis entre déformations isospectrales et isomonodromiques ne sont pas encore complètement éclaircis: le lecteur pourra cependant se reporter à l'article de Flashka et Newell [44]. Les deux problèmes de Riemann ont certaines ressemblances (on pourra se reporter au livre de Plemej [45]). Une façon naïve pour comprendre ces liens consiste peut-être à reprendre la démonstration de L. Schlesinger [42]. Cette démonstration repose sur la remarque que la condition de déformation isomonodromique est équivalente à adjoindre à l'équation linéaire de départ, un ensemble d'équations linéaires

La condition de déformation isomonodromique revient à écrire des conditions de compatibilité entre divers systèmes linéaires, propriété assez semblable à l'existence d'une paire de Lax dans le formalisme isospectral .

En fait, il semble bien que la matrice de monodromie du formalisme isospectral (qui fait passer de $x=-\infty$ à $x=+\infty$) joue le même rôle que les matrices de monodromie précédemment décrites.

- 4) Modèles complètement intégrables en théorie des champs
- 4a) Quantum inverse scattering

Il existe de nombreux modèles de théorie des champs qui sont complètement intégrables, nous n'en citerons que quelques uns : le modèle de Schrödinger non linéaire quantique [46], le modèle de Sine-Gordon quantique [4], le modèle de Gross-Neveu [47]. Les deux premiers modèles ont été largement étudiés. Il est apparu que non seulement les propriétés caractéristiques des modèles intégrables classiques survivent à la quantification, mais qu'elles se simplifient dans bien des cas : une étude directe du problème quantique relatif à un modèle intégrable par la méthode inverse, est plus simple qu'une approche indirecte, fondée sur la résolution du problème classique et sa quantification subséquente.

Des développements remarquables ont conduit à ce que l'on appelle maintenant la théorie de la méthode inverse quantique (quantum inverse scattering). Nous ne saurions donner une vue exhaustive de ce qui constitue une véritable

théorie : nous conseillons au lecteur de se reporter aux articles suivants : Two-dimensional Integrables Models in Quantum Field Theory, L.D.Faddeev [2] ainsi que les références [4],[48].

l'hamiltonien voulu dans la limite du continu. (Cette procédure s'oppose à n'est plus local, (les couplages décroissent exponentiellement avec la distance entre les champs [49]) mais cela n'a guère d'importance car il redonne réseau non intégrable). Dans l'exemple du modèle de Sine Gordon les éléments discrétisation de l'hamiltonien local, celle-ci donnerait une théorie sur des passages sur réseaux naîfs car l'évolution n'est pas déterminée par une la suite). Les commutateurs sont fixés par la relation triangle. L'hamiltonien en imposant une relation triangle (relation de Yang-Baxter) sur les éléments que son correspondant classique. Ceci est réalisé par le passage sur réseau, de renormalisation et, de surcroît, l'algèbre quantique devient plus simple cependant dans les cas connus, il est possible de régler les problèmes usuel de la matrice de monodromie de la matrice de monodromie. (Nous reviendrons sur la relation triangle par caractère d'intégrabilité de la théorie. Un certain arbitraire existe donc, limite N + 0, tout en ayant à l'esprit que l'essentiel est de préserver le les crochets de Poisson devant redonner les crochets classiques dans la Donnons un simple aperçu de cette théorie : il est nécessaire de définir

$$T(\lambda) = \begin{bmatrix} A(\lambda) & B(\lambda) \\ -B^{+}(\lambda) & A^{+}(\lambda) \end{bmatrix}$$

doivent vérifier la relation triangle

$$\mathbb{R}(\lambda,\mu)\big[\mathbb{T}(\lambda)\ \Theta\ \mathbb{T}(\mu)\big] = \big[\mathbb{T}(\mu)\ \Theta\ \mathbb{T}(\lambda)\big]\ \mathbb{R}(\lambda,\mu)$$

avec
$$R(\lambda,\mu) = \begin{bmatrix} 1 & 0 & 0 & 0 \\ 0 & b & c & 0 \\ 0 & c & b & 0 \\ 0 & 0 & 0 & 1 \end{bmatrix}$$

$$b(\lambda,\mu) = \frac{i \sin \gamma}{sh(\alpha - \beta + i\gamma)} \quad , \qquad c(\lambda,\mu) = \frac{sh(\alpha - \beta)}{sh(\alpha - \beta + i\gamma)}$$

$$\alpha = \ln \lambda$$
 , $\beta = \ln \mu$

On en déduit les relations de commutation

$$A(\lambda)B(\mu) = \frac{1}{c(\mu_*\lambda)}B(\mu)A(\lambda) - \frac{b(\mu_*\lambda)}{c(\mu_*\lambda)}B(\lambda)A(\mu)$$

$$A^{+}(\lambda)B(\mu) = \frac{1}{c(\lambda,\mu)}B(\mu)A^{+}(\lambda) - \frac{b(\lambda,\mu)}{c(\lambda,\mu)}B(\lambda)A^{+}(\mu)$$

$$[\mathbf{A}(\lambda),\mathbf{A}(\mu)] = [\mathbf{B}(\lambda),\mathbf{B}(\mu)] = 0 \dots$$

qui généralisent les relations classiques

$$\{a(\lambda), a(\mu)\} = 0$$
, $\{a(\lambda), b(\mu)\} = a(\lambda)b(\mu)\frac{2\gamma \lambda \mu}{\lambda^2 - \mu^2}$...

La relation triangle précédente sert essentiellement à assurer la propriété de commutation des traces des matrices de monodromie

[Tr T(
$$\lambda$$
), Tr T(μ)] = 0.

Dans le cadre de ce nouveau formalisme on peut également exhiber des paires de Lax (quantiques). Le lecteur désireux de se rattacher plus étroitement à un formalisme lagrangien ou hamiltonien pourra se reporter à l'article [4] ainsi qu'à l'article de P.P.Kulish et E.K.Sklyanin ou, sur l'exemple du modèle à six vertex, on voit simultanément la relation triangle, les quantités en involution qui en découlent, dont l'hamiltonien du modèle XXZ, et une paire de Lax associée au problème [50].

opérent sur les états entrant à n particules et d'impulsions données de la façon suivante :

$$Q_N | p_1 \dots p_n \rangle = \sum_{i=1}^n q_N(p_i) | p_1 \dots p_n \rangle$$

(les particules sont largement séparées et n'interagissent pas). On peut écrire une équation analogue pour les états sortants et, les Q_N étant conservés, on obtient, en appelant $p_1^1,\ldots p_m^1$ les m particules sortantes, l'équation :

$$\sum_{i=1}^{\sum} q_N(p_i) = \sum_{j=1}^{\sum} q_N(p_j^*)$$

L'infinité de ces équations (N=1,2,...∞) contraint à avoir n=m, et également à ce que l'ensemble $\{p_1',...p_n'\}$ s'identifie à l'ensemble $\{p_1,...p_n\}$ (tout se réduit à des permutations des n particules). De cette propriété on tire enfin la propriété de factorisation de la matrice S en produit de matrice S à deux corps. En fait l'existence d'un nombre fini de quantités conservées suffit dans le raisonnement précédent pour démontrer la propriété de factorisation de la matrice S [5]].

4b) Les liens avec les problèmes à n corps quantiques

Les théories quantiques des champs sont d'autre part reliées à des problèmes quantiques unidimensionnels à n corps. Ainsi dans le cas du modèle de Schrödinger non linéaire l'hamiltonien

$$H = \int dx \phi^*(x) \frac{\partial^2}{\partial x^2} \phi(x) + g \phi^*(x) \phi^*(x) \phi(x) \phi(x)$$

préservant le nombre de particules, on peut se placer dans le sous-espace à N particules, N fixé, ce qui amène à écrire l'équation de Schrödinger correspondante :

$$\left[-\sum_{i=1}^{N} \frac{\partial^{2}}{\partial x_{i}^{2}} + 28 \sum_{i < j} \delta(x_{i}^{-}x_{j}^{-}) \right] \cdot \psi_{N}(x_{1}, \dots, x_{N}^{-})$$

$$= \lambda \psi_{N}(x_{1}, \dots, x_{N}^{-})$$

Le même type de correspondance (seconde quantification + première quantification) peut être effectué sur les modèles de Thirring (massif), Gross-Neveu [52],

> conduisant à des équations qui, tout comme la précédente, peuvent être résolues à l'aide de l'ansatz de Bethe [53]. Dans le cas du modèle de Thirring on peut écrire l'hamiltonien sous la forme :

$$\begin{split} H &= \int \, dx \, \left[-i \Big(\psi_1^+ \, \frac{\partial}{\partial x} \, \psi_1 - \psi_2^+ \, \frac{\partial}{\partial x} \, \psi_2 \Big) \, + \, m_o (\psi_1^+ \psi_2^+ \psi_2^+ \psi_1^+) \\ &+ \, g_o \psi_1^+ \psi_2^+ \psi_1^+ \psi_2 \, \right] \end{split}$$

nous voyons que le nombre N de particules l et M de particules 2 n'est pas conservé séparément dans le cas massif, par contre leur somme, elle, est conservée et l'on peut dans ce sous-espace écrire une équation de Schrödinger. Dans le cas non massif on obtient immédiatement l'équation

$$\begin{bmatrix} -i & \sum\limits_{n=1}^{N} \frac{\partial}{\partial \mathbf{x}_{n}} + i & \sum\limits_{m=1}^{M} \frac{\partial}{\partial \mathbf{y}_{m}} + g_{o} & \sum\limits_{n=1}^{N} \sum\limits_{m=1}^{M} \delta(\mathbf{x}_{n} - \mathbf{y}_{m}) \end{bmatrix}$$

$$\psi(\mathbf{x}_{1}, \dots, \mathbf{x}_{N}, \mathbf{y}_{1}, \dots, \mathbf{y}_{M}) = \lambda \psi(\mathbf{x}_{1}, \dots, \mathbf{x}_{N}, \mathbf{y}_{1}, \dots, \mathbf{y}_{M})$$

(on reconnait l'écriture en première quantification du modèle de Luttinger avec le potentiel particulier $V(x)=\delta(x)$ [54]).

Dans le cas du modèle de Sine-Gordon, la correspondance précédente disparaît, mais il est possible d'associer cependant, à la limite non relativiste de ce modèle, l'équation suivante :

$$\begin{bmatrix} -\frac{1}{2m} \sum_{i=1}^{N} \frac{\partial^{2}}{\partial \mathbf{x}_{i}^{2}} - \frac{1}{2m} \sum_{j=1}^{M} \frac{\partial^{2}}{\partial \mathbf{y}_{j}^{2}} + \sum_{i=1}^{N} 2V(\mathbf{x}_{i}^{-\mathbf{x}_{i}^{*}}) \\ + \sum_{j < j}^{M} 2 \cdot V(\mathbf{y}_{j}^{-\mathbf{x}_{j}^{*}}) + \sum_{i=1}^{N} \sum_{j=1}^{M} 2 \cdot W(\mathbf{x}_{i}^{-\mathbf{y}_{j}^{*}}) \end{bmatrix} \\ + \frac{1}{N} \left[\sum_{j < j}^{N} 2 \cdot V(\mathbf{y}_{j}^{-\mathbf{x}_{j}^{*}}) + \sum_{i=1}^{N} \sum_{j=1}^{N} 2 \cdot W(\mathbf{x}_{i}^{-\mathbf{y}_{j}^{*}}) \right] \\ + \frac{1}{N} \left[\sum_{j < j}^{N} 2 \cdot V(\mathbf{y}_{j}^{-\mathbf{x}_{j}^{*}}) + \sum_{i=1}^{N} \sum_{j=1}^{N} 2 \cdot W(\mathbf{x}_{i}^{-\mathbf{y}_{j}^{*}}) \right] \\ + \frac{1}{N} \left[\sum_{j < j}^{N} 2 \cdot V(\mathbf{y}_{j}^{-\mathbf{x}_{j}^{*}}) + \sum_{i=1}^{N} \sum_{j=1}^{N} 2 \cdot W(\mathbf{x}_{i}^{-\mathbf{y}_{j}^{*}}) \right] \\ + \frac{1}{N} \left[\sum_{j < j}^{N} 2 \cdot V(\mathbf{y}_{j}^{-\mathbf{x}_{j}^{*}}) + \sum_{i=1}^{N} \sum_{j=1}^{N} 2 \cdot W(\mathbf{x}_{i}^{-\mathbf{y}_{j}^{*}}) \right] \\ + \frac{1}{N} \left[\sum_{j < i}^{N} 2 \cdot V(\mathbf{y}_{j}^{-\mathbf{x}_{j}^{*}}) + \sum_{i=1}^{N} \sum_{j=1}^{N} 2 \cdot W(\mathbf{x}_{i}^{-\mathbf{y}_{j}^{*}}) \right] \\ + \frac{1}{N} \left[\sum_{j < i}^{N} 2 \cdot V(\mathbf{y}_{j}^{-\mathbf{x}_{j}^{*}}) + \sum_{i=1}^{N} \sum_{j=1}^{N} 2 \cdot W(\mathbf{x}_{i}^{-\mathbf{y}_{j}^{*}}) \right] \\ + \frac{1}{N} \left[\sum_{j < i}^{N} 2 \cdot V(\mathbf{y}_{j}^{-\mathbf{x}_{j}^{*}}) + \sum_{i=1}^{N} \sum_{j=1}^{N} 2 \cdot W(\mathbf{x}_{i}^{-\mathbf{y}_{i}^{*}}) \right] \\ + \frac{1}{N} \left[\sum_{j < i}^{N} 2 \cdot V(\mathbf{y}_{j}^{-\mathbf{x}_{j}^{*}}) + \sum_{i=1}^{N} \sum_{j=1}^{N} 2 \cdot W(\mathbf{x}_{i}^{-\mathbf{y}_{i}^{*}}) \right]$$

- 5) Modèles exacts en mécanique statistique
- 5a) Les modèles unidimensionnels

La mécanique statistique offre une grande diversité de modèles intégrables, qu'il s'agisse de modèles sur réseau ou de modèles continus, de modèles unidimensionnels ou bidimensionnels. La spécifité de la dimension assure

souvent l'intégrabilité de nombreux modèles. On trouvera de bonnes revues de modèles unidimensionnels intégrables dans le livre de E.H. Lieb et D.C. Mattis, Mathematical Physics in One dimension [55], ainsi que dans le chapitre de C.J. Thompson dans le volume 1 de C. Domb et M.S. Green, Phase transitions and critical phenomena [56]. Nous ne citerons que l'exemple, intéressant de par ses généralisations multidimensionnelles, du gaz coulombien, discret ou continu, à une dimension, sur le cercle unité ou sur la droite réelle [57]. On calcule des quantités du genre

$$z_{n}(\beta) = \int ... \int dz_{1}...dz_{n} \prod_{i < j} e^{\beta x_{n} |z_{i} - z_{j}|}$$

(dans le cas du cercle unité pour $\beta=1,2,4,Z_{\Pi}$ peut être considéré comme la mesure du volume de certains espaces homogènes : ensembles de matrices orthogonales, unitaires, symplectiques). Ce calcul est équivalent à celui de la fonction de partition du modèle d'Ising en présence de champ d'hamiltonien :

$$\mathbf{H} = \sum_{i,j} \sigma_{i}\sigma_{j} \ln |z_{i}-z_{j}| + h \sum_{k} \sigma_{k}$$

5b) Modèles exacts sur réseaux bidimensionnels

d'une forme quadratique (ce qui revient à dire des fermions libres). L'e. groupe de Clifford [61], fermions [62], Pfaffiens [63], variables de Gracecan tinguer les modèles complètement intégrables parce que se ramenant à des spins et les modèles à vertex. Dans ces deux catégories on a coutume de disalors s'intéresser essentiellement à deux types de modèles ; les modèles à et pour lesquels les spins peuvent prendre un nombre fini de valeurs. Il faut [64] tout repose sur la nécessité d'avert à un certain moment une expendite le modèles de dimères (Green et Hurst [60]). Quelque soit le langage chilisé constantes de couplage (Onsage: [58], Utiyama [59]), toute une variété de de Bethe. Dans cette première catégorie (fermions libres) on trouve des fermions libres, et les modèles que l'on peut résoudre du fait de l'ansatz tique, et principalement les modèles sur réseau avec interactions locales par exemple) rend inopérante ces approches. modèles d'Ising bidimensionnels sur divers réseaux, avec plus ou moins de Considérons maintenant les modèles bidimensionnels en mécanique statisdans le modèle à huit vertex symetrique

Une deuxième catégorie est constituée par les medèles une

résoudre grâce à l'ansatz de Bethe (modèles ferroélectriques, problèmes des trois couleurs, modèles à six et huit vertex symétriques,...). On pourra se reporter à la revue de E.H. Lieb et F.Y. Wu [56].

C'est en 1970 que Sutherland s'est aperçu [65], pour ces deux catégories de modèles, de la relation de commutation entre la matrice de transfert pour ces modèles bidimensionnels et certains hamiltoniens quantiques associés à des modèles unidimensionnels. Ainsi la matrice de transfert du modèle à six vertex commute-t-elle avec l'hamiltonien du modèle XXZ (pour lequel l'ansatz de Bethe s'applique) :

$$H = \sum_{n} (J_{x_{n}^{x_{n}^{x_{n}}} n+1}^{x_{n}^{x_{n}}} + J_{x_{n}^{x_{n}^{y_{n}}} + 1}^{y_{x_{n}^{y_{n}^{y_{n}}}} + J_{x_{n}^{x_{n}^{z_{n}^{z_{n}}}}}^{z_{n}^{z_{n}}})$$

Ce n'est que plus tard que l'on a compris que cette propriété était la conséquence d'une relation triangle-étoile [66] sur ces modèles. Ceci indique que les modèles de fermions libres (bidimensionnels) ne sont qu'un cas particulier simple de la classe des modèles exacts (admettant une relation triangle). Cette inclusion est encore confirmée par le fait que l'on peut voir la méthode de Gel'fand-Levitan quantique comme une généralisation de la transformation de Jordan-Wigner [67]. De bonnes introductions à ces problèmes sont constituées par les revues de E.H. Lieb et F.Y. Wu [56], P.W. Kasteleyn [66] et plus récemment R.J. Baxter [68].

Le rôle de la relation triangle étoile dans la solubilité exacte des modèles de mécanique statistique n'a été reconnu qu'assez tard; la relation triangle étoile était cantonnée au rôle de la transformation qu'il faut adjoindre à la dualité de Kramers-Wannier dans le cas des réseaux qui ne sont pas self-duaux (typiquement le modèle d'Ising sur réseau nid d'abeille) [56].
M.J. Stephen et L. Mittag ont donné une solution du modèle d'Ising en utilisant la relation triangle étoile bien connue du modèle d'Ising [69]. H.J. Hilhorst,
M. Schick et J.M.J. Leeuwen ont, en utilisant uniquement la relation triangleétoile, (dans le cadre d'une procédure de renormalisation dite "différentielle") calculé exactement des propriétés critiques du modèle d'Ising bidimensionnel [70], preuve que la relation triangle-étoile est bien reliée aux propriétés

on pouvait calculer comple-

remarquablement tiré parti de l'existence d'une transformation triangle-étoile généralisée [72]. Sa solution repose de façon cruciale sur cette propriété. On peut démontrer que cette relation assure automatiquement l'existence d'une famille, dépendant d'un ou plusieurs paramètres continus, de matrices de transfert qui commutent. En développant par rapport à ces paramètres on déduit facilement l'existence d'un nombre infini de grandeurs en involution (nombre infini de lois de conservation)([73] pour un exposé élémentaire) En fait la recherche de nouveaux modèles exacts en mécanique statistique se focalise à l'heure actuelle sur la recherche de nouvelles relations triangles. Une fois obtenue une telle relation, les calculs se déroulent selon un schéma fixe et bien connu. R.J. Baxter dans la résolution du modèle hard-hexagon a, avant toute chose, recherché la relation triangle correspondant à ce modèle [74].

6) La correspondance entre mécanique statistique et théorie des champs

Les correspondances entre mécanique statistique sur réseau et théorie des champs appellent quelques remarques: il faut distinguer a priori deux types de correspondances; d'une part la correspondance "naturelle" qui consiste à voir la théorie des champs comme une limite au continu d'un problème de mécanique statistique lorsque le pas du réseau tend vers zêro. L'exemple typique est la limite au continu de Luther [76] du modèle XYZ qui conduit au modèle de Thirring, ces deux problèmes étant tous deux exactement solubles. Le fait de considérer un réseau régularise le problème de théorie des champs et permet d'éviter bon nombre de problèmes difficiles de la théorie des champs p'autre part, nous avons fait allusion dans le cadre des problèmes solubles à un autre type de correspondance illustrée par l'identification formelle entre la matrice S à deux corps du modèle de Sine-Gordon et le vertex du modèle de Sine-Gordon.

The same of the sa

ensuite la particule 2 interagit avec la particule 3... Un tel réseau l'espace direct, celui du modèle de Sine-Gordon se situe, lui dans un espace du modèle à six vertex. Le réseau du modèle à six vertex se situe dans modèle à 6 vertex Z-invariant [77]. Or ce réseau, du fait de la relation s'identifie, pour l'exemple du modèle de Sine-Gordon, au réseau d'un La particule | interagit avec la particule 2, puis avec la particule 3, abstrait. Le paramètre spectral qui sert à uniformiser le modèle à six verpriété de factorisation de la matrice S) peut se ramener au réseau régulier triangle, (Z invariance) (cette dernière propriété s'identifiant à la prosi l'on y arrive, on a obtenu un nouveau modèle soluble ; par contre, du point matrice S. De ce point de vue, la situation est plus intéressante lorsque l'on blèmes de théorie des champs admettant une propriété de factorisation de la "q couleurs") mais par contre elle est, en dimension deux, limitée aux prode mécanique statistique plus ou moins compliqués, souvent des modèles à la littérature et les interpréter comme des fonctions de partition de modèles que la précédente, (on peut "récupérer" toutes les matrices S calculées dans sation de la matrice S. Cette correspondance est parfois plus intéressante solubilité commune à ces deux modèles ; la relation triangle et la factorisurtout une correspondance entre les structures particulières, reflétant la Cette dernière correspondance est donc une correspondance abstraite, qui est du modèle de Sine-Gordon qui a, lui, une signification physique précise. tex est un paramètre abstrait, et il lui correspond le paramètre de rapidité des champs, ou bien encore qui correspond effectivement à une théorie des de vue de la théorie des champs, on aura simplement obtenu une relation de considérer un modèle à vertex et rechercher une éventuelle relation triangle; se place sur le versant "mécanique statistique" : on peut toujours a priori il n'y a plus correspondance entre le vertex du modèle de mécanique statischamps, mais sans savoir préciser laquelle. En dimension trois (ou plus) stricto sensu, la matrice S à deux corps s'écrivait : tique et la matrice S à deux ou trois corps ; en effet, en dimension deux factorisation d'une matrice S qui ne correspond peut-être à aucune théorie

$$S(\theta_a, i_a, \theta_b, i_b; \theta_c, i_c, \theta_d, i_d) =$$

$$\delta(\theta_{\rm c} - \theta_{\rm a}).\delta(\theta_{\rm d} - \theta_{\rm b}).{\rm Si}_{\rm a}{}_{\rm b}; {\rm i}_{\rm c}{}_{\rm i}{}_{\rm d}(\theta_{\rm a} - \theta_{\rm b})$$

existe une relation triangle ou une relation de factorisation de la matrice S : triangles et de ses généralisations [78], aussi allons-nous seulement donner de voûte de l'étude des différents problèmes de la physique mathématique des modèles. Il est donc clair que les équations trianglessont une des clefs simples et les plus intrinsèques pour décrire les propriétés d'intégrabilité plus être, en dimensions supérieures ou égales à trois, les objets les plus et dont les modèles de théorie des champs associés par une limite ou continu giner un modèle de mécanique statistique possédant une relation tétrahèdre l'absence de correspondance précédemment indiquée, on peut parfaitement imad'avoir une solubilité complète en dimension supérieure à deux. Du fait de ici, une liste (provisoire et non exhaustive) des modèles pour lesquels bidimensionnelle. Nous consacrons toute une note CEA à l'étude des relations de la matrice S ; les matrices S à deux ou trois corps (ou plus) ne semblent (en supposant qu'elle existe) ne possèdent pas de propriété de factorisation supérieure à deux est souvent mis en avant pour mettre en doute la possibilité ne détaillons pas) de factorisation de la matrice S en dimension strictement lequel il ne peut y avoir (moyennant des hypothèses assez générales que nous modèle de mécanique statistique en dimension trois ou plus. L'argument selon des charges ia, ib... qui pourrait s'identifier éventuellement au vertex du bles de Mandelstøm...) interviennent et l'on a plus d'objet ne dépendant que de mécanique statistique ; en dimension trois les variables continues (varia- $S_{ia}i_{b}, i_{c}i_{d}$ $(\theta-\theta_{b})$ et c'est ce terme qui s'identifiait au vertex du modèle portant sur les variables continues 0 pour ne s'occuper que du seul terme des diverses particules et l'on oubliait couramment les deux 6 de Kronecker où θ_a , θ_b , θ_c , θ_d (resp. i_a , i_b , i_c , i_d) étaient les rapidités (resp.les "charges")

- les modèles de fermions libres [79][58][59]
- le modèle à 8 vertex symétrique [72]
- le modèle à 19 vertex [80]
- le modèle d'hexagones durs [74]
- les modèles à vertex à q couleurs [81]
- la matrice S du modèle O(N) [82]
- la matrice S du modèle U(N) [83]
- la matrice S de la chaîne de Toda quantique [84]
- la solution elliptique de Fateyev [85]

- le modèle de Shabat-Mikhailov quantique [86]
- les solutions à symétrie S [87]
- les solutions de Cherednik et leurs généralisations H.C. Ottinger, J. Honerkamp et surtout A.A. Belavin [88][89][90]
- les nouvelles solutions à symétrie S de V.V.Bazhanov et Y.G. Stroganov (une trentaine de solutions) [91]
- etc, etc...

de C.L. Schultz [81]. également l'article de H.C. Ottinger et J. Honerkamp [89] ainsi que celui ainsi que l'article de revue de A.B. Zamolodchikov [92]. Il pourra lire l'article de V.V. Bazhanov et Y.G. Stroganov [91], celui de A.A. Belavin [90] Nous conseillons au lecteur désireux d'explorer cette "nébuleuse" de lire

Les structures en jeu dans les modèles solubles ; la relation triangle comme concept fondamental pour ces modèles

machine à fabriquer des intégrales premières, et permet également de décrire Le formalisme des hamiltoniens de Kac-Moody apparaît comme une véritable flots hamiltoniens à l'aide des jacobiennes de courbes algébriques [93]. d'utiliser à la fois les techniques d'algèbres de Lie et la description des de Lie semi-simples (algèbres de Kac-Moody) Adler et van Moerbeke proposent ment certaines algèbres de Lie de dimension infinie généralisant les algèbres nous allons seulement en citer certains exemples : en utilisant systematiquerecul suffisant par rapport à ces études qui se développent à l'heure actuelle naître de telles structures dans les problèmes solubles. Ne disposant pas d'un correspondant à des groupes de Lie de dimension infinie. On commence à reconmodèles solubles. Cette diversité semble le reflet de structures plus générales Clifford, ou les algèbres de Heisenberg, que l'on peut rencontrer dans ces semi-simples (espaces symétriques, diagrammes de Dynkin...), les algèbres de une certaine diversité demeure, ne serait-ce qu'entre les algèbres de Lie bilité des modèles. Nous avons relié certains des concepts et techniques les concepts les plus généraux et les plus simples expliquant l'exacte solufont ils sont pourvus à l'aide de jacobiennes de courbes algébriques [94]. intervenant sur ce problème. Cependant au niveau des structures algébriques [93] une approche de divers systèmes complètement intégrables qui leur permet les espaces définis par la constance des intégrales premières et les flots En conclusion de cette première partie, il nous faut essayer de dégager

Autre exemple, E. Dote, M. Kashiwara et T. Miwa [95] dans le cadre d'une théorie de Galois pour les équations aux dérivées partielles non linéaires étudient le groupe de transformation d'équations telles que KdV, Boussinesq, Kadomtsev-Petviashvili ... Ces groupes ne sont plus de dimension finie, mais sont en l'occurrence des groupes de Lie de dimension infinie ou les groupes associés à des algèbres de Kac-Moody. Dans la construction de la représentation d'une algèbre de Lie affine, Lepowsky et Wilson font jouer un rôle central à l'opérateur de vertex [96]:

$$\mathbf{X}(\mathbf{p}) = \exp\left(2\left[\mathbf{x}_{\mathbf{j}}\mathbf{p}^{\mathbf{j}}\right] \exp\left(-2\left[\frac{\mathbf{j}}{\mathbf{j}}\frac{\partial}{\partial\mathbf{x}_{\mathbf{j}}}\mathbf{p}^{\mathbf{j}}\right]\right)$$
(j impair positif)

Ils remarquent que cet opérateur de vertex s'identifie complètement à la transformation de Bäcklund infinitésimale pour ces équations.

Ce même opérateur de vertex se rencontre également dans la théorie des modèles duaux où, récemment, Frenkel et Kac [97] ont pu reconnaître dans l'algèbre de Virasoro des représentations des algèbres de Kac-Moody. L'algèbre de Virasoro est une algèbre que l'on rencontre dans les modèles duaux, et qui est engendrée par une combinaison de créateurs et d'annihilateurs :

$$\begin{bmatrix} L_{\mathbf{n}} = 1/2 & \sum_{\mathbf{m} = -\infty} \alpha_{-\mathbf{m}} & \alpha_{\mathbf{n} + \mathbf{m}} & : \\ \\ (\alpha_{\mathbf{n}} = 1/\overline{\mathbf{n}} a_{\mathbf{n}} , \alpha_{-\mathbf{n}} = \alpha_{\mathbf{n}}^{+}) \\ \\ [L_{\mathbf{n}}, L_{\mathbf{m}}] = (\mathbf{m} - \mathbf{n}) \cdot L_{\mathbf{m} + \mathbf{n}} + \frac{1}{3} \mathbf{m} (\mathbf{m}^{2} - 1) \cdot \delta_{\mathbf{m}, -\mathbf{n}}$$

(Un problème des modèles duaux est l'existence d'une dimension critique (d=26), nécessaire pour obtenir l'élimination des états non physiques. Une nouvelle version, tenant compte de l'anomalie conforme due à Polyakov [98], semble porter remède à ce problème. Pour d=26 la dynamique des cordes est celle des oscillateurs harmoniques libres, par contre pour d < 26, elle est décrite par une théorie non linéaire intégrable (Liouville quantique bidimensionnelle). L'extension supersymétrique de cette théorie qui à d=3 est équivalente au modèle d'Ising tridimensionnel se réduit à la théorie de Liouville supersymétrique [99]). Des algèbres de Lie graduées se rencontrent encore sur les équations d'Einstein à symétrie axiale [100] et aussi la théorie de Yang-Mills

Enfin ces mêmes algèbres semblent être appelées à jouer un rôle important dans le cadre de la théorie du quantum inverse scattering [48] et pourrait permettre de classifier les théories des champs bidimensionnels intégrables. En effet le concept de relation triangle qui est véritablement à la base de la théorie du quantum inverse scattering semble pouvoir s'inscrire dans le cadre de ces structures algébriques de dimensions infinies (algèbres des courants [48]).

Ainsi les modèles solubles commencent à s'intégrer (en dimension deux pour l'instant) à l'intérieur d'une description générale utilisant des notions aux frontières actuelles de la théorie des algèbres de lie. Cette description pourra peut-être permettre, à moyen ou à long terme, d'atteindre des objectifs ambitieux tels que la classification de tous les problèmes solubles d'un certain type. Cependant dans l'état actuel, il est aussi nécessaire d'utiliser une approche moins abstraite basée sur l'étude de la propriété simple et fondamentale pour les problèmes solubles que constitue l'existence d'une relation triangle.

Cette même propriété remarquée par R.J. Baxter, dans le cadre de mécanique statistique englobe, en dimension deux, les concepts de fermions libres et d'ansatz de Bethe couramment utilisés dans cette discipline. De plus on peut voir qu'elle s'identifie formellement avec la propriété de factorisation de la matrice S, en dimension deux. On retrouve également cette même propriété dans le cadre des problèmes à n-corps sous le vocable de relation de Yang [28], relation qui n'est autre que l'expression de l'ansatz de Bethe algébrique. On peut également signaler que cette même notion apparaît dans le cadre de la théorie des opérateurs d'entrelacement [102] (la propriété de factorisation des opérateurs d'entrelacement coïncide avec la relation de factorisation de Yang-Baxter). Il semble enfin que l'on puisse relier la relation triangle et les transformations de Bäcklund [103]. Cette propriété simple, l'existence d'une relation triangle, apparaît donc comme jouant un rôle fondamental dans le cadre des modèles solubles, rôle qui justifie amplement l'étude spécifique de la relation triangle.

III - LES MODELES INTEGRABLES ET LEURS APPLICATIONS A LA PHYSIQUE

1) Polymorphisme des modèles intégrables : l'exemple du modèle à six vertex

Nous allons essayer de montrer que le nombre, encore trop faible à l'heure actuelle des modèles intégrables, doit être mis en balance avec la grande variété des formes que peut revêtir un même modèle. Cette variété sera illustrée sur l'exemple du modèle à six vertex symétrique et de toute la circuiterie des modèles équivalents ou qui lui sont reliés, ce qui amènera à poser le problème de l'universalité de ce modèle dans le cadre de la physique bidimensionnelle.

Considérons comme point de départ le modèle bidimensionnel suivant : à chaque site i on associe un entier relatif $\mathbf{n_i}$; le poids de Boltzmann pour deux sites voisins est

$$W = e^{-K(n_i - n_j)^2}$$

De tels modèles peuvent, par exemple, espérer modéliser la transition rugueuse d'un modèle d'Ising tridimensionnel (en fait dans une hypothèse S.O.S. i.e. solid-on-solid stricte à la Müller-Hartmann-Zittartz [104] on considèrerait plutôt le poids $W = e^{-K \cdot \left | n_i - n_j \right |} \right)$. Lorsqu'on effectue une dualité à partir de ce modèle, le dual de Z étant $[0,2\pi[$, on passe à un modèle où une variable angulaire θ_1 , a remplacé la variable n_1 et où le poids de Boltzmann pour deux sites plus proches voisins est

$$\widetilde{W} = \sum_{n \in \mathbb{Z}} e^{-Kn^2 + i(\theta_i, +\theta_j, n)n}$$

où (i',j') est la liaison duale de la liaison (i,j). On reconnaît là une fonction θ , donc une fonction périodique de période 2π . Villain a préféré remplacer ce poids par le poids

acer ce poids par le poids
$$W = \sum_{\mathbf{m_{i'',j'} \in \mathbb{Z}}} e^{-\frac{1}{4K} (\theta_{i'} - \theta_{j'} + 2\pi \mathbf{m_{i'',j'}})^2}$$

où la variable θ_1 , θ_j , est remplacée par elle même plus une variable de liaison $m_{i,j}$, $\epsilon \mathbf{Z}$ qui restaure la propriété de périodicité. Sous cette forme, la séparation en ondes de spin $(\theta_1, -\theta_j,)$ et excitations vortex $(m_{i,j})$ est particulièrement nette. Il est par ailleurs clair que ce modèle est semblable au modèle XY dont le poids est $W = e^{K\cos{(\theta_1, -\theta_j)}}$.

Revenons au modèle de départ parfois appelé "discrete gaussian model" [105]. Les variables \mathbf{n}_i sont des entiers, mais on peut tout aussi bien les voir comme des variables réelles, à condition d'insérer des fonctions δ afin de préserver le caractère discret :

$$\mathbf{Z} = \int \ \, \prod_{\mathbf{k}} \ \, \mathrm{dh}_{\mathbf{k}} \cdot \ \, \prod_{\mathbf{k}} \left(\sum_{\mathbf{n}_{\mathbf{k}} \in \mathbf{Z}} \delta(\mathbf{h}_{\mathbf{k}} - \mathbf{n}_{\mathbf{k}}) \right) \cdot \ \, \mathrm{e}^{-\mathbf{K} \cdot \sum_{\mathbf{i}, \mathbf{j}} \cdot (\mathbf{h}_{\mathbf{i}} - \mathbf{h}_{\mathbf{j}})^2}$$

On peut choisir différentes représentations de la fonction δ . La plus naturelle utilise la formule de Poisson

$$\sum_{\mathbf{n} \in \mathbf{Z}} \delta(\mathbf{h} - \mathbf{n}) = \sum_{\ell \in \mathbf{Z}} e^{2\pi \mathbf{i} \cdot \ell \cdot \mathbf{k} \cdot \mathbf{h}}$$

C'est ce que firent par exemple Chui et Weeks [105]. Le calcul de la fonction de partition se ramène à des intégrales gaussiennes qui, une fois effectuées, donnent (après transformée de Fourier pour profiter de l'invariance par translation du modèle) $Z = Z_G \cdot Z_G$ eranslation du modèle) $Z = Z_G \cdot Z_G$

où $Z_G = \int \| dh_k \cdot e^{-\lambda J} \|$ est la fonction de partition du modèle gaussien et $Z_C = \sum_{c} \sum_{i \neq j} n_i \cdot n_j \cdot U_i$

où U_{ij} est approximativement proportionnel à $\ln d(i,j)$ où d(i,j) désigne la distance entre les sites i et j. Autrement dit Z_{C} est la fonction de partition d'un gaz coulombien neutre. D'autre part Chui et Lee [106] ont réalisé l'équivalence entre le modèle de gaz de coulomb bidimensionnel et le modèle de Luttinger unidimensionnel généralisé pour inclure la diffusion en retour et d'hamiltonien

$$\begin{split} &H = H_{S} + H_{L} \\ &H_{S} = v_{F} \sum_{k,s} k(a_{k,s} \cdot a_{k,s}^{+} - b_{k,s} \cdot b_{k,s}^{+}) + \frac{2V}{L} \sum_{k} \rho_{1}(k) \rho_{2}(-k) \\ &H_{L} = \sum_{k,s} \int dx \ \psi_{1,s}^{+}(x) \psi_{2,s}^{+}(x) \psi_{1,s}^{-}(x) \psi_{2,s}^{-}(x) (U_{||} \cdot \delta_{s,s}^{-} + U_{L} \cdot \delta_{s,-s}^{-}) \end{split}$$

où
$$\rho_1(k) = \frac{1}{\sqrt{2}} \sum_{p,s} a_{p+k,s} \cdot a_{p,s}^+$$
 , $\psi_{1,s}(x) = \frac{1}{\sqrt{L}} \sum_{k} e^{ikx} \cdot a_{k,s}$

(et de même ρ_2 et $\psi_{2,s}$ avec $b_{k,s}$ et $b_{k,s}^{\dagger}$)

de la transformation canonique $\psi_2 + \psi_2^{\dagger}$). aux deux composantes du champ Thirring ψ_1 et ψ_2 ; on notera l'utilisation Wigner, on distingue les sites pairs et impairs qui vont donner naissance Thirring massif [76] (après avoir effectué une transformation de Jordanen faisant une limite au continu du modèle X-Y-Z, d'aboutir au modèle de modèle X-Y-Z et le modèle de Thirring, en montrant qu'il était possible, l'équation (4) de [107b]). Luther a également précisé le lien entre le bosons de Sine-Gordon dans cette série d'arricle par Luther, notamment Sine - Gordon comme l'avait indiqué Coleman [108]. (On retrouve d'ailleurs de Sine-Gordon. Le modèle de Thirring massif est équivalent au modèle de En fait, il correspond au modèle de Thirring massif, ou encore au modèle les transformations qui permettent de passer des fermions de Thirring au est vu comme s'identifiant à un modèle X-Y-Z dans une limite du continu. hamiltonien H correspond à un nouveau modèle de Luttinger ; le second H , une nouvelle somme H_0+H_1 de deux hamiltoniens qui commutent. Le premier Luther a montré [107a)], que cet hamiltonien HS+HL pouvait se réécrire comme voit facilement qu'il s'identifie totalement au modèle de Thirring non massif. L'hamiltonien H_S est celui de l'hamiltonien du modèle de Luttinger [54] on

modèle de Potts bidimensionnel à la température critique (R.J. Baxter, H.N.V Temperley, S.E. Ashley, Proc.Roy.Soc.Lon. A358, 535 (1978)). modèle à huit vertex symétrique [66]. L'expression de la fonction de parainsi que nous l'avons déjà mentionné, avec la matrice de transfert du chapitre de Luther dans [8]. Cet hamiltonien unidimensionnel XYZ commute, de fermions unidimensionnels et la chaîne XYZ on pourra se reporter au [73][75]. Le modèle à six vertex symétrique est également équivalent au le poids de Boltzmann associé au vertex du modèle de mécanique statistique) de Sine-Gordon (la matrice S à deux corps s'identifiant formellement avec précédent, s'identifie entièrement avec celle de la matrice S du modèle tition du modèle à six vertex symétrique, un cas particulier du modèle Pour une discussion plus complète des relations entre les problèmes

en prenant une autre représentation des fonctions & : Si nous revenons quelque peu en arrière, au modèle gaussien discret,

$$\sum_{\mathbf{n} \in \mathbb{Z}} \delta(\mathbf{h} - \mathbf{n}) = \lim_{\mathbf{B} \to \infty} \frac{\mathbf{B}}{\Gamma(1/2)} \cdot e^{-\mathbf{B}^2 \sin^2 \pi \mathbf{h}}$$

on referrit la fonction de partition :
$${}^{-K} \sum_{\substack{K \\ B+\infty}} (h_i - h_j)^2 - B^2 \sum_{k} \sin^2 \pi h_k$$

$$Z = \lim_{\substack{B+\infty}} \frac{B}{\Gamma(1/2)} \prod_{k} dh_k . e^{-K} (h_j - h_j)^2 - B^2 \sum_{k} \sin^2 \pi h_k$$

Par une limite au continu, a désignant le pas du réseau dont on prend la limite a + 0, on passe a :

ite
$$a+0$$
, on passe a :
$$-\int dxdy \left\{ K(\nabla h)^2 + (\frac{B}{a})^2 \sin^2\pi h \right\}$$

$$Z = \lim_{B \to \infty} \frac{B}{\Gamma(1/2)} \int \mathcal{D}h \cdot e$$

de Sine-Gordon le paramètre g du modèle de Thirring, et le paramètre K du paramètres de ces différents modèles. Ainsi entre le paramètre 8 du modèle On retrouve une théorie du type Sine-Gordon mais avec une métrique euclidienne modèle gaussien discret nous avons les relations : ici. Ces correspondances, ou équivalences, engendrent des égalités entre les

$$\frac{\beta^2}{4\pi} = (1 + \frac{g}{\pi})^{-1} , \qquad g = \pi \left(\frac{4\pi}{\beta^2} - 1\right) ,$$

$$\beta^2 = \frac{2}{K} , \qquad g = \pi . (4\pi K - 1) .$$

D'autre part au champ libre ¢ du modèle de Sine-Gordon on peut associer un champ dual \$\tilde{\phi}\$ [109] défini par

où $\epsilon_{\mu\nu}$ est le tenseur totalement antisymétrique usuel ϵ_{01} = $-\epsilon_{10}$ = 1 (cette transformation de dualité correspond à la transformation β + $\frac{4\pi}{\beta}$). Au-delà et du modèle de Baxter : $\sin \frac{\beta \phi}{2} \leftrightarrow \sigma^{(1)} \sigma$ les correspondances auivantes entre les opéraceurs des modèles de Sine-Gordon entre les opérateurs apparaissant dans ces problèmes : nous ne citerons que des égalités entre paramètres, il existe de très nombreuses correspondances

$$\sin \frac{2\pi}{\beta} \phi \leftrightarrow \sigma^{(2)} \mu^{(1)}$$
,

 $\cos \frac{\beta \phi}{2} \leftrightarrow \mu^{(1)} \mu^{(2)}$, $\cos \frac{2\pi}{\beta} \phi \leftrightarrow \sigma^{(1)} \mu^{(2)}$

à la désignation d'un des deux sous réseaux intervenant dans la formulation où σ,μ sont les variables ordre et désordre usuelles et l'indice 1,2 correspond

- 37 -

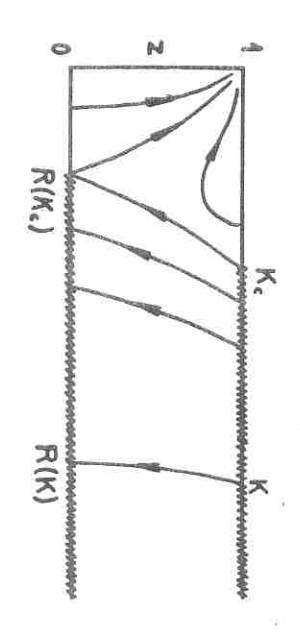
du modèle de Baxter en terme de modèle à spin. Certaines de ces équivalences ont plus ou moins été reprises par Knops [110] dans le cadre du groupe de renormalisation, en prenant comme point de départ une généralisation suffisamment large du modèle de Villain :

Large on modele de villain:
$$-K \sum_{i,j} (\theta_i - \theta_j + 2\pi m_{i,j})^2 + \ln z \sum_{i} n_{i,j}^2$$

$$Z = \sum_{i} \int \prod_{j} d\theta_{i,e} < ij > 0$$

$$\{m_{i,j} \in \mathbb{Z}\} \ \ell$$

à la valeur critique du modèle gaussien K = $\frac{1}{11}$. peut voir notamment que Kc, le point critique du modèle XY, doit correspondre gaussienne de points fixes. Les bornes de ces lignes se correspondent : on du modèle XY (K > K, ligne de Kosterlitz Thouless) est reliée à la ligne critiques de ces modèles se correspondent : la région de basse température gaussien discret se projette sur le modèle gaussien. D'autre part, les lignes dans les autres ; ainsi le modèle XY devient le modèle gaussien, le modèle Y \sum_{i} cos $(p\theta)$) réalise le passage continu de ces modèles particuliers les uns l'on a rajouté d'autres termes tels que par exemple des termes d'anisotropie malisation agissant sur ce modèle (ou des modèles encore plus généraux où tition s'identifie alors avec celle du modèle gaussien pur. Le groupe de renor-Ceci permet de définir la variable continue $X_1 = \theta_1 + 2\pi n_1$. La fonction de pardoivent être des différences de variables de sites entières : m: = n: -n . et lorsque z=0 nous voyons que, du fait du terme complémentaire, les m. z=1 on retrouve le modèle de Villain strict (dual du modèle gaussien discret) où ng est la somme des variables de liaisons entourant une plaquette. Lorsque



Le groupe de renormalisation fournit ainsi la valeur de l'exposant des fonctions de corrélation du modèle. Il varie continûment comme $\eta=1/4\pi R(K)$. La fonction R(K) n'est pas connue exactement, pas plus que K_c ; cependant la figure précédente implique que $R(K_c)$ doit être égal à la valeur connue pour le modèle gaussien $1/\pi$, ce qui conduit à la valeur $\eta_c=1/4$, qui n'est

autre que la valeur connue pour le modèle d'Ising. Lorsqu'on introduit le modèle de Baxter dans les schémas précédents, on s'aperçoit qu'effectivement les points $K_{_{\rm C}}$ et R(K $_{_{\rm C}}$) correspondent également à l'extrémité de la Baxterline où les deux sous-réseaux d'Ising, constituant le modèle, découplent. Cependant ce point particulier correspond également, au travers de toutes les correspondances précédentes, aux points β^2 -4 π ou g=0 pour lesquels il est bien connu que les modèles de Sine-Gordon et de Thirring deviennent des théories libres. Ce type d'approche utilisant le groupe de renormalisation appliqué à des modèles de Villain généralisés ou, ce qui revient au même, à des modèles de gaz coulombiens bidimensionnels, eux aussi généralisés, a été repris par de nombreux auteurs. Kadanoff a notamment montré [III] qu'en considérant des gaz coulombiens faisant intervenir deux types de charges (électriques, magnétiques) on pouvait rendre compte d'une physique extrêmement large.

A l'appui de cette réduction de nombreux modèles à des gaz classiques neutres de particules en interaction avec un potentiel logarithmique, le lecteur pourra se reporter aussi aux articles de S.A. Bulgadaev [112] et S.G. Rajeev [113] . Considérons le modèle décrit par la grande fonction de partition suivante :

où $H_N=-\sum\limits_{i< j}^N\sigma_i\sigma_j$ on $\left|\frac{x_i-x_j}{a}\right|$, et \sum ' désigne la somme sur toutes les configurations contraintes par la condition de neutralité $\sum\limits_i\sigma_i=0$. (On reconnait la version continue du modèle d'Ising à interaction avec un potentiel logarithmique qui était reliée au modèle de Sine-Gordon). Ce modèle présente les propriétés physiques déjà mentionnées suivantes : une transition au point $\beta_F=2$, où le modèle se réduit à un modèle de fermion libre, pour lequel la théorie acquiert une invariance conforme supplémentaire, et à partir duquel on voit apparaître la formation de paires neutres. On note au passage la grande analogie entre la fonction de partition et les amplitudes intervenant dans les modèles duaux [114].

Rajeev a montré [113] que la gravité quantique euclidienne (avec une constante cosmologique nulle) en deux dimensions est équivalente au modèle

- 39 -

précédent (*). Ceci lui permet de ramener la gravité quantique à deux dimensions à des modèles intégrables comme Sine-Gordon ou Thirring et, par exemple, d'obtenir la matrice S correspondante. On peut voir dans cet article coexister des descriptions et des résultats provenant de la description de Kosterlitz-Thouless (pour les fonctions de corrélation), des plasmas, et du modèle de Sine-Gordon (par exemple pour les états liés m = 2m sin ny). Comme dans tous les modèles figurant dans ce paragraphe, et dont nous avons souligné les liens, la physique de ce modèle est dominée par la topologie et la théorie des perturbations apparaît difficile à mettre en oeuvre.

Pour mettre un point final à ce réseau d'équivalences, ou simplement de relations allant par exemple du modèle XY bidimensionnel classique au modèle de Potts à la température critique, signalons les équivalences entre un modèle de spin classique à symétrie O(n) d'hamiltonien $\sum_{\langle i,j\rangle} \ln(1+x\stackrel{\cdot}{S}_1.\stackrel{\cdot}{S}_1)$ et le modèle à six vertex ou encore certains modèles SOS ou de Potts bidimensionnels [115].

Revue non exhaustive des applications des modèles intégrables en physique Quelques exemples

Dans quels domaines de la physíque peut-on rencontrer de tels problèmes dits complètement intégrables ? En fait nous allons voir qu'ils interviennent dans presque tous les domaines de la physique : les ondes dans les fluides, les plasmas, la physique du solide (effet Kondo, effet Josephson), la physique des particules, le mouvement de solide rigide... Nous allons le montrer en établiseant une liste (non exhaustive) de problèmes correspondant à divers domaines de la physique.

L'équation KdV décrit tout système d'onde plane faiblement non linéaire et faiblement dispersif. Dans l'onde solitaire la non-linéarité uu est justement contre-balancée par la dispersion uxx. Une telle équation gouverne, par exemple, les ondes dans les canaux de largeur suffisante. (C'est la fameuse découverte de Russel en 1834). De même l'équation de Boussines $\phi_{xx} - \phi_{tt} = -[(\phi^2)_{xx} + 1/4\phi_{xxxx}]$ peut prétendre modéli: 1r des ondes de bas fonds (dans des canaux par exemple) [116], ou des ondes dans les plasmas.

L'équation de Sine-Gordon u_x - u_t = sin u, elle, apparaît en physique dans la théorie des dislocations dans les cristaux [117]. Elle décrit la propagation des fluxons dans les jonctions Josephson [118], ou la propagation de pulses optiques courts résonnants [3], le phénomène de la superradiance [119], les ondes de densité de charge [120]. L'équation de Schrödinger non linéaire iu_t + u_{xx} + 2u | u | ² = 0 gouverne l'évolution de toute onde presque monochromatique faiblement nonlinéaire mais fortement dispersive, comme par exemple l'évolution d'ondes en eaux profondes, la propagation des pulses de chaleur dans un solide [121], les ondes de Langmuir dans les plasmas [122]; elle est également reliée à l'équation de Ginzburg-Landau en superconductivité [123].

Une équation aux différence, comme l'équation d'Hirota [124], s'applique aux filtres électriques non linéaires :

$$\frac{d^2}{dt^2} \log(1+V_n(t)) = V_{n+1}(t) - 2V_n(t) + V_{n-1}(t) .$$

La chaîne continue de spin d'Heisenberg dont l'équation est (équation de Landau-Lifshitz) [125] :

s'applique, à la limite des grandes longueurs d'onde, à des ferromagnétiques idéalisés, traités par soucis de simplification comme des vecteurs classiques. Cette équation, en l'absence du champ magnétique $\vec{\tau}_0$, peut être mise en correspondance avec l'équation de Schrödinger non linéaire (transformation de jauge). Da façon générale, les plasmas sous champs magnétiques externes sont des milieux très particuliers qui présentent de nombreuses formes d'oscillations dont les amplitudes atteignent facilement un niveau tel, que les effets non linéaires sont du même ordre, ou prévalent, dans la compétition avec les effets dispersifs ; on peut ainsi retrouver les équations KdV, KdV modifiées et Schrödinger non linéaire cubique.

 $L'\text{\'equation u}_{xx}+2[1-e^{-\left|u\right|^{2}}]_{u+iu}_{t}=0 \quad \text{intervient en th\'eorie des plasmas}$ et dans les interactions de radiations avec les plasmas [126]. La connection de cette \'equation avec les \'equations de turbulence de Langmuir a ēté effectuée par Zakharov [127].

Il faut également mentionner l'application de ces notions d'intégrabilité aux problèmes de mécanique (mouvement de solides... [128]) et surtout aux

^(*) en passant par une expression intermédiaire due à Polyakov [98] qui fait intervenir le modèle de Liouville $\int \mathcal{D}\varphi \cdot \exp\left(-A \int \left[\frac{1}{2} \left(\partial \varphi\right)^2 + \mu^2 e^{\varphi}\right] d^2x - A \int \varphi \frac{\partial \varphi}{\partial M} \cdot d\gamma\right)$

- 41 -

problèmes de relativité générale : Il a été trouvé une transformation de Bäcklund pour l'équation de Ernst $(\text{Re}(E), \nabla^2 E = (\nabla E)^2)$ intervenant en relativité générale pour les champs à symétrie axiale) [129]. Une paire de Lax a également été obtenue pour cette même équation [130].

Si nous quittons maintenant le domaine des équations non linéaires, on ne s'étonnera pas que les problèmes complètement intégrables trouvent de nombreuses applications dans une discipline riche en problèmes à n corps, la physique des solides : la thermodynamique du modèle d'échange s-d avec des impuretés arbitraires (problème Kondo) a pu par exemple être résolue [131] grâce à l'ansatz de Bethe ; l'hamiltonien de ce problème s'écrit :

$$\mathbf{H}_{\mathbf{s},\mathbf{d}} = \sum_{\chi_{\mathfrak{I}}\sigma=\pm 1} \sum_{\chi_{\mathfrak{I}}\chi_{\mathfrak{I}} \times \chi_{\mathfrak{I}} \times \chi_{\mathfrak{$$

(ce modèle décrit la diffusion d'un électron par un moment magnétique localisé S=1/2). Plus précisément c'est la généralisation de Sutherland de l'ansatz de Bethe où l'on a pas un jeu d'impulsion $k_1\dots k_n$ qui intervient, mais un ensemble de tels jeux [132], qui est ici en cause. Un des intérêt de ce calcul exact sur l'effet Kondo est, entre autres, de permettre l'accession à des régions difficilement accessibles à la théorie des perturbations, telle que la région $H < T_K$ (température de Kondo ; H est le champ magnétique) ; notamment en ce qui concerne la susceptibilité magnétique une expression exacte peut être donnée ce qui permet d'évaluer celle-ci dans la région $H < T_K$ [131].

Un autre modèle important en Physique des Solides est le modèle de Peierls (parfois appelé modèle de Fröhlich). Un cas particulier de ce modèle s'avère être un modèle complètement intégrable [133]. Ce modèle est relié à divers problèmes comme la transition commensurable - incommensurable, les ondes de densité de charge [134], les transitions métal-isolant, le modèle de Frenkel-Kontorowa, le modèle ANNI [135]. Une perturbation à partir du modèle de Peierls exactement intégrable, résolue par Dzyaloshinsky et al [136], montre l'apparition des deux régimes : stochastique et escalier du diable.

Dans le cas complètement intégrable, on remarque l'absence d'accrochage (pinning). Une généralisation de ce problème de Peierls-Fröhlich est liée à l'équation KdV [137].

Il semble de façon générale que les modèles intégrables, à un nombre fini de gap, puissent jouer un rôle important dans tous les problèmes d'électrons dans les solides [137][138]. Toujours dans le cadre de l'intérêt des modèles intégrables pour la Physique, revenons au "circuit" de correspondance entre

différents modèles et le modèle de Sine-Gordon (modèles rugueux, gaz de coulomb, modèle XY bidimensionnel, classique, modèle de Luttinger, Sine-Gordon,...). Sur cette "circuiterie" l'interfertilisation entre ces différents modèles est particulièrement évidente, et ce, surtout au niveau de la physique profonde de ces modèles : ainsi se correspondent, par exemple, les solitons de Sine-Gordon et les magnons du modèle XYZ, le mécanisme de Higgs et le mécanisme de formation de paires de Cooper (B.C.S) ou de paires de vortex (XY). Nous conseillons au lecteur désireux d'approfondir toutes ces questions de lire les trois articles suivants :

- 1) Quantum Solitons in Statistical Physics par A.H. Luther [8]
- Uses of Solid State Analogies in Elementary Particle Theory par P.W. Anderson [139]
- 3) Solitons in Condensed Matter Physics par R. Bishop [40].

Nous noterons à ce niveau le fait singulier de l'apparition des modèles intégrables comme prototypes pour de nombreuses classes de problèmes dans les sciences physiques.

2b) Un point de vue général

plus générale l'intérêt pour la physique de ces problèmes intégrables. La a un très large spectre d'application et conjugué à des idées topologiques, exemple parler du concept de frustration (forces en compétition). Ce concept études sur les problèmes et effets non linéaires au sens large. On peut par sont apparues : les études sur les milieux inhomogènes aléatoires, et les couplées, le tout très souvent dans un cadre de techniques de champ moyen de développements, de modes normaux, d'excitations indépendantes ou faiblement physique consiste souvent à penser et à calculer en terme de milieux homogênes de leur périodicité incommensurable avec la périodicité du réseau sous-jacent de densité de charge où des distorsions de charge électronique proviennent Citons comme exemple l'épitaxie où deux périodicités s'affrontent, les ondes en établissant des distorsions importantes (solitons, discommensurations...). façon optimale en adoptant des solutions homogènes, mais dans certains cas tition et ne peuvent pas toujours venir à bout de cette frustration de De nombreux autres problèmes de physique exhibent des interactions en compéil forme une des pierres angulaires de beaucoup de physiques non linéaires. (milieu effectif...) . S'écartant de cette physique dominante deux directions Au-delà de ces exemples ponctuels, on peut essayer de dégager de façon

que ce que l'on peut obtenir par une théorie des perturbations conventionnelles un point de départ pour une phénoménologie des configurations plus réalistes turbations physiques dans les cas réels, cependant ils fourniront strict pour lesquels les effets précédents seront purs. Evidemment les prodémarche étant conduite sur les systèmes complètement intégrables au sens perturbatifs d'ordre fini). (des solutions de type soliton ne peuvent être atteintes par des traitements priétés idéales sont toujours mélangées jusqu'à un certain degré à des perment intégrables pour y exhiber des effets spécifiques et nouveaux, cette Un point de vue raisonnable consiste à s'intéresser aux problèmes complèteil est préférable pour le système de transporter la grandeur extensive en donnés. Ceci est un phénomène assez général : dans un processus de diffusion tant dans la conduction de la chaleur dans les réseaux non linéaires désorest essentiellement transportée par les solitons : ils jouent un rôle imporcitant qu'un seul exemple [141] dans les réseaux non linéaires l'énergie petit nombre, soient les seules sources d'un effet particulier. En ne n'existait macroscopique du système. Une telle objection serait définitive s'il contribueront certainement que pour une fraction infime de toute propriété pourra être décrit par des excitations du type phonons et les solitons ne la création d'un soliton que si ils sont en très petit nombre, le système qu'après tout, dans une situation typique de matière condensée, la température du système peut être si basse comparée à l'énergie d'activation pour Une des objections qui peut être faite à ces idées consiste à remarquer (torsion, charge topologique etc...) à l'aide de ces "solitons". des situations où les solitons (ou assimilés), bien qu'en

IV - CONCLUSION

problèmes s'inscrivent dans un cadre général que l'on qualifiera, pour ces différents langages et techniques entre eux. Si il semble que ces diversité des modèles exactement solubles (ou rattachés à ceux-ci) et de certains, des modèles intégrables n'est sans doute pas l'indice d'un de ces modèles pour la Physique, notamment la Physique des Solides. Nous cations des modèles intégrables en physique, et avons discuté de l'intérêt l'étude spécifique de cette relation. Nous avons montré un éventail d'applide la plupart des modèles existant à l'heure actuelle. Ceci justifie infiniment plus de souplesse que d'autres techniques, de la solubilité relation triangle. Cette relation simple permet de rendre compte, avec retrouve dans tous ces problèmes de façon plus ou moins explicite : la le rôle fondamental joué par une propriété locale très simple et que l'on simplifier, d'algèbres de Lie (notamment les notions d'algèbres de techniques mathématiques les plus diverses ; nous avons essayé de relier les domaines de la Physique et utilisent au passage les ressources des des idées et concepts qui leurs sont associés. Ils interviennent dans tous suffisant d'exemples (parmi les plus simples) à montrer la remarquable théories asymptotiquement libres : les modèles intégral? théories des champs. La théorie des champs est toujours une perturbation intégrables pourraient remplacer le rôle joué par les théories libres en tion, effets non linéaires particuliers...). On peut penser que ces théories présenter des effets physiques originaux purs (solitons, lois de conservatraire l'indice d'une certaine universalité. Ces modèles ont le mérite de caractère pathologique, qui rendrait leur étude académique, mais au conles uns des autres a priori. Ainsi le nombre, jugé trop faible aux yeux retrouvé dans une grande variété de problèmes de physique fort éloignés avons indiqué, en prenant l'exemple du modèle de Sine-Gordon, comment un Lie semi-simples) nhous avons de le rôle fondamental joué par l'oscillate. Lurmonique, ou le ferment les Nous avons cherché, en nous appuyant pour ce faire, sur un nombre intégrable pouvait, par le jeu d'équivalence entre modèles, être qui généralisent les notions d'algèbre façon plus spécifique souligné E STREET, ST.

Les modèles complètement intégrables permettent des axes de recherches très différents : un des axes consiste à élargir le champ des équivalences entre modèles, ainsi qu'entre les effets physiques particuliers qui y apparaissent (mécanisme de Higgs ++ paires de Cooper) ; il faut aussi clarifier les correspondances entre les différents concepts et formalismes qui interviennent (les liens entre théories de déformations isospectrales et isomonodromiques sont loin d'être clairs). Un des autres axes consisterait à établir des classifications exhaustives de certains types de modèles intégrables ; il semble que des concepts tels que ceux d'algèbre de Kac-Moody [142] puissent peut-être permettre d'atteindre cet objectif [48]. Un objectif moins ambitieux, mais aux conséquences plus immédiates, consiste à élargir le nombre de modèles intégrables. Nous pensons que l'approche la plus efficace consiste à étudier les relations triangles et leurs généralisations multidimensionnelles et à se concentrer sur la recherche de nouvelles relations de ce type.

APPENDICE

Compte tenu du fait que l'on sait que les équations KdV et KdV modifiées se réduisent, lorsqu'on effectue une transformation de self-similarité, à une équation de Painlevé (type II) [43] et qu'il est vraisemblable que cette même transformation de self-similarité conduit, pour les KdV d'ordre supérieur, à des équations à points critiques fixes (comme les équations de Painlevé mais d'ordre supérieur), on peut se demander si ces mêmes idées d'algèbre d'opérateurs qui commutent avec un opérateur donné, et de récurrences, s'appliquent à cette nouvelle hiérarchie d'équations non linéaires. On vêrifie en fait immédiatement que la transformation de self-similarité revient à écrire pour l'équation KdV modifiée d'ordre n,

 χ = (at) "1/r, n(z) , et pour l'équation KdV d'ordre n, u = (at) "2/r, ω(z) $-\frac{2n+3}{r}$, $\beta_n(z)$

où z = $x(\alpha t)^{-1/r}$, α est une constante arbitraire et r est un entier lié à n

La relation entre u et X devient

par la relation r = 2n+1.

 $\omega = \eta^1 + \eta^2, \text{ les dérivées partielles } \frac{\partial}{\partial t} \text{ et } \frac{\partial}{\partial x} \text{ deviennent } ;$ $\frac{\partial}{\partial t} = -\frac{\alpha}{r} \left(\alpha t\right)^{-1} \cdot \left[p + z \frac{\partial}{\partial z}\right] \text{ et } \frac{\partial}{\partial x} = \left(\alpha t\right)^{-1/r}, \frac{\partial}{\partial z} \text{ où p est un poids qui vaut } 2 \text{ pour KdV et l pour KdV modifié.}$

Compte tenu de ces changements de variables les équations KdV et KdV modifiées deviennent respectivement :

$$-\frac{\alpha}{2n+1} (2\omega + z\omega') = \beta_n \tag{1}$$

$$\frac{\alpha}{2n+1} (2\omega + z\omega') = \beta_n \tag{2}$$

$$-\frac{\alpha}{2n+1} \left[n+zn' \right] = \left[2 \int_{\beta_{n-1}}^{z} dz \cdot n - \beta_{n-1} \right]'$$

$$\Rightarrow \frac{\alpha}{2n+1} z \cdot n + 2n \cdot \int_{\beta_{n-1}}^{z} dz - \beta_{n-1} = Constante.$$

Donnons les exemples de l'ordre l et de l'ordre 2 :

$$n=1 \begin{cases} \frac{\alpha}{3} (2\omega + z\omega^{\dagger}) + 6\omega\omega^{\dagger} - \omega^{\dagger\dagger} = 0 \\ \frac{\alpha}{2} zn + 2n^{3} - n^{\dagger\dagger} = Cate \end{cases}$$
 (21)

$$\frac{\alpha}{3} \pi \eta + 2\eta^3 - \eta'' = \text{Cate}$$
 (2*)

à la solution dégénérée w = - 3 z près. (2) est Equivalent à (1) lorsqu'on effectue le changement de variable $\omega=\eta'+\eta^2$,

$$n=2 \begin{cases} \frac{\alpha}{5}(2\omega+z\omega^{\dagger})-\omega^{(5)}+10\omega\omega^{***}+20\omega^{\dagger}\omega^{**}-30\omega^{\dagger}\omega^{2}=0 \\ \frac{\alpha}{5}z\eta-\eta^{(4)}+10\eta^{2}\eta^{***}+10\eta^{\dagger}^{2}\eta-6\eta^{5}=Cste \end{cases}$$
 (2")

(211)

(2") est Equivalente à l'Équation (I") auquelle on rajoute la solution

$$\omega^{11} - 3\omega^{2} + \frac{\alpha}{10} z = Cste$$

d'algèbre d'opérateurs qui commutent avec un opérateur donné et de récurrences critiques fixes s'appliquent-elles à cette hiérarchie d'équations différentielles à points (1) auquelle on associe les solutions $\beta_{n-1} = \frac{\alpha \cdot z}{2(2n+1)}$. Ainsi les idées De façon générale à tout ordre n, l'équation (2) est équivalente à l'équation On reconnaît dans cette dernière équation une équation de Painlevé du type (I).

REFERENCES

- P.D.Lax, Comm.Pure Appl.Math. 21, 467 (1968).
- L.D.Faddeev, Physica Scripta 24, 832-835 (1981).
- A.C.Scott, F.Y.F.Chu, D.W.Mc Laughlin, The Soliton : A new Concept in Applied Science, Proceedings of the LEEE, Octobre 1973, 1443-1483.
- 4 E.K.Sklyanin, L.A.Takhtadjan, L.D.Faddeev, Theor.Math.Phys. 40, 194 (1979).
- A.Barone, F.Esposito, C.J.Magee, A.C.Scott, R.Nuovo Cimento L, 227-267 (1971).
- [6] C.S.Gardner, J.M.Greene, M.D.Kruskal, R.M.Miura, Phys.Rev.Lett. 19,1095(1967).
- 7 Bäcklund Transformations, Lecture Notes in Mathematics, Springer Verlag, 515, ed. A.Dold, B.Eckmann (1974).
- 8 Solitons Topics in Current Physics Springer Verlag ed. R.K.Bullough, P.J.Caudrey (1980).
- [9] V.E.Zakharov, A.B.Shabat, Soviet Phys. JETF 34, 62 (1972).
- [10] L.M.Gel'fand, B.M.Levitan, Amer.Math.Soc.Transl, 1, 253-304 (1955).
- [11] V.E.Zakharov, L.D.Faddeev, Funct.Anal.Appl., 5, 280-287 (1971).
- [13] T.Gui-zhang, Il Nuovo Cimento 69B, 160 (1982). [12] M.Boiti, F.Pempinelli, 11 Nuovo Cimento 518, 70 (1979).
- [14] T.Barnard, Phys.Rev. A7, 373-376 (1973).
- [15] R.Hirota, J.Phys.Soc.Japan, 33, 1489 (1972).
- [16] L.Bianchi, Lezioni di Geometria Differenziale, vol.II, Pisa, 1902, 418
- [17] B.A.Dubrovin, V.B.Matveev, S.P.Novikov, Russian Math.Surveys 31, 59-146(1976).
- [18] H.H.Chen, Phys.Rev.Lett. 33, 925-928 (1974).
- [19] R.Sasaki, Phys.Lett. 71A, 390 (1979); Nucl.Phys. B154, 343 (1979);
- [20] M.J.Ablowitz, D.J.Kaup, A.C.Newell, H.Segur, Stud.Appl.Math. 53, 249 (1974). Phys.Lett. 73A, 77 (1979).
- [21] H.D.Wahlquist, F.B.Estabrook, J.Math.Phys. 16, 1-7 (1975).
- [23] M.D.Kruskal, Lect. appl. Math. 15 ed. A.C.Newell, AMS Providence 1974. [22] S.Kumei, J.Math.Phys. 18, 256-264 (1977).
- [24] J.Moser, Adv.Math. 16, 197 (1975).
- [25] E.Feenberg, Theory of Quantum Fluids (Academic, New-York, 1969).
- [27] E.Brézin, J.Zinn-Justin, C.R.A.S. 263, 670-673 (1966). [26] B.Sutherland, Phys.Rev. A4, 2019-2021 (1971).
- [28] C.N. Yang, Phys. Rev. Lett. 19, 1312-1314 (1967).
- [29] P.J.Gambardella, J.Math.Phys. 16, 1172-87 (1975).
- [30] P.Deift, F.Lund, E.Trubowitz, Proc.Nat.Acad.Sci. USA (1980) 77, 716.

- [31] F.Lund, Physica 3D (1981) 350-362.
- [32] D.V. et G.V.Chudnovsky, Séminaire sur les équations non linéaires. Ecole Polytechnique 1977-1978.
- [33] M.A.Olshanetsky, A.M.Perelomov, Inventiones math. 37, 93-108 (1976); Lettere al nuovo cimento 17, 97-101 (1976); 16, 333-339 (1976).
- [34] S.Helgason, Differential geometry and Symmetric Spaces New-York (1962).
- [35] H.Eichenherr, M.Forger, Nuclear Physics B164, 528-535 (1980).
- [36] B.Mc Coy, C.A.Tracy, T.T.Wu, J.Math.Phys. 18, 1058 (1976).
- [37] M.Sato, T.Miwa, M.Jimbo, 1978-1980 "Holonomic Quantum Fields" publications of the Research Institute for Mathematical Sciences, Kyoto University 14, 223; 15, 201; 15, 577; 15, 871; 16, 531.
- [38] P.Painlevé, C.R.A.S. 143, 1111 (1906).
- [39] M.R.Garnier, Annales Scient. de l'E.N.S. XLIII (1926) 23.
- [40] M.R.Garnier, Annales Scient, de 1'E.N.S. XXIX (1912) 1-107.
- [41] R.Fuchs, Math.Ann., Bd. 63, 1906.
- [42] L.Schlesinger, Journal für die reine Math. 123 (1901)138; (1912) 141.
- [43] P.Kaliappan, M.Lakshmanan, J.Phys. A12, L.249 (1979).
- [44] H.Flashka, A.C.Newell, Physica D3, 203-221 (1981).
- [45] J.Plemelj, Problems in the sense of Riemann and Klein N.Y. Interscience pub. 1964.
- [46] H.B. Thacker, D. Wilkinson, Phys. Rev. D19 (1979) 3660.
- [47] N.Andrei, J.H.Lowenstein, Phys.Lett. 90B, 106 (1980).
- [48] L.D. Faddeev, Les Houches 1982. Integrable models in 1+1 dimensional QFT.
- [49] V.E.Korepin, A.G.Izergin, 1981 "Lattice versions of quantum field theory models in two dimensions" preprint.
- [50] P.P.Kulish, E.K.Sklyanin, Phys.Lett. 70A, 461 (1979).
- [51] S.Parke, Phys.Lett. 88B, 287 (1979).
- [52] F.A.Berezin, V.N.Sushko, Zh.Eksp.Teor.Fiz. 48, 1293 (1965).
- [53] A.A.Belavin, Phys.Lett. 87B, 117 (1979),
- [54] D.C.Mattis, E.H.Lieb, J.Math.Phys. 6, 375 (1965).
- [55] E.H. Lieb, D.C.Mattis, Mathematical Physics in One dimension, Academic Press N.Y. 1966.
- [56] C.Domb, M.S.Green, Phase Transitions and Critical Phenomena vol.1 Academic Press 1972.
- [57] M.Gaudin, Le Journal de Physique 34, 511 (1973).
- [58] L.Onsager, Phys.Rev. 65 (1944) 117.
- [59] T.Utiyama , Prog. Theor. Phys. 6 (1951) 907.
- [60] H.S.Green, C.A.Hurst, "Order-disorder Phenomena Interscience Publishers", Inc. N.Y. (1964).

- [61] L.Onsager, B.Kaufman, Phys.Rev. 76, 1232 (1949).
- [62] E.H.Lieb, T.D.Schultz, D.C.Mattis, Ann.Phys. 16 (1961) 407.
- [63] C.A.Hurst, J.Math.Phys. 7, 305 (1966).
- [64] S.Samuel, J.Math.Phys. 21, 2806 (1980).
- [65] B.Sutherland, J.Math.Phys. 11, 3183 (1970).
- [66] P.W.Kasteleyn, Fundamental Problems in Statistical Mechanics III, Proceed, of the 1974 Wageningen Summer School E.G.D.Cohen ed. North-Holland pub.
- [67] D.B.Creamer, H.B.Thacker, D.Wilkinson, Phys.Lett. 92B, 144 (1980).
- [68] R.J.Baxter, Fund.Problems in Stat.Mech. V Proceed.of the 1980 Enschede Summer School E.G.D.Cohen ed. North-Holland pub.
- [69] M.J.Stephen, L.Mittag, J.Math.Phys. 13, 1944 (1972).
- [70] H.J.Hilhorst, M.Schick, J.M.J. van Leeuwen, Phys. Rev. Lett. 40, 1605 (1978);
 Phys. Rev. B19, 2749 (1979).
- [71] R.J.Baxter et I.G.Enting, J.Phys.All, 2463-2473 (1978).
- [72] R.J.Baxter, Annals of Physics 70, 193 (1972).
- [73] M.T.Jaekel, J.M.Maillard, Séminaire de l'ENS 1979/1980.
- [74] R.J.Baxter, J.Phys. Al3, L61 (1980).
- [75] A.B.Zamolodchikov, Comm.Math.Phys. 69, 165 (1979).
- [76] A.Luther, Phys.Rev. B14, 2153 (1976).
- [77] R.J.Baxter, Proc.of the Roy.Soc.Lond. A289, 25 (1978).
- [78] J.M.Maillard, Note CEA S 82-77 (1983)
- [79] B.V.Felderhoff, Physica 66, 509 (1973).
- [80] A.B.Zamolodchikov, V.A.Fateyev Yad. Fiz. 32, 581 (1980).
- [81] C.L.Schultz, Phys.Rev.Lett. 46, 629 (1981).
- [82] A.B.Zamolodchikov, A.B.Zamolodchikov, Nucl.Phys. B133, 525 (1978).
- [83] B.Berg, M.Karowski, V.Kurak, P.Weisz, Nucl.Phys. B134, 125 (1975).
- [84] A.E.Arinshtein, V.A.Fateyev, A.B.Zamolodchikov, Phys.Lett. 87B, 389 (1979).
- [85] V.A.Fateyev, Preprint TH 2963-CERN (1980).
- [86] A.G.Izergin, V.E.Korepin, Preprint LOMI-E3-80, Leningrad (1980).
- [87] V.V.Bazhanov, Y.G.Stroganov, Phys.Lett. 105B, 278 (1981).
- [88] I.V.Cherednik, Teor.Mat.Fiz. 43, 117 (1980).
- [89] H.C.Ottinger, J.Honerkamp, Phys.Lett. 88A, 339 (1982).
- [90] A.A.Belavin, Nucl.Phys. B180, 180 (1981).
- [91] V.V.Bazhanov, Y.G.Strogamov, Nucl. Phys. B205 (1982) 505-526.
- [92] A.B.Zamolodchikov, A.B.Zamolodchikov, Annals of Physics 120, 253-291 (1979).
- [93] M.Adler, P.van Moerbeke, Adv. in Math. 36, 1-44 (1980).
- [94] M.Adler, P. van Moerbeke, Adv. in Math. 38, 318-379 (1980).
- 95] E.Date, M.Kashiwora, T.Miwa, Proceedings of the Japan Society, 57A,387 (1981).

- [96] J.Lepowsky, R.L.Wilson, Comm. Math. Phys. 62, 43 (1978).
- [97] I.B. Frenkel, V.G. Kac, Inv. Math. 62, 23 (1980).
- [98] A.M.Polyakov, Phys.Lett. 103B, 207 (1981).
- [99] A.M.Polyakov, Phys.Lett. 103B, 211 (1981).
- [100] W.Kinnersley, J.Math.Phys. 18, 1529 (1977);
- W.Kinnersley, D.M.Chitre, J.Math.Phys. 18, 1538 (1977)
- [101] L.Dolan, Phys.Rev.Lett. 47, 1371 (1981)
 H.Eichenherr, Phys.Lett. 1158, 385 (1982).
- [102] G.Schiffmann, Bull.Soc.Math. France, 99, 3-72 (1971).
- [103] D.G. et G.D. Chudnovsky, Theta functions, completely X-sym..., soumis à Annals
- [104] E.Müller-Hartmann, J.Zittartz, Z.Physik B27, 261 (1977). of Phys.(1982)
- [105] S.T.Chui, J.D.Weeks, Phys.Rev. B14, 4978 (1976).
- [106] S.T.Chui, P.A.Lee, Phys.Rev.Lett. 35, 315 (1975)
- [107a] A.Luther, Phys.Rev. B15, 403 (1977).
- [107b] A.Luther, V.J.Emery, Phys.Rev.Lett. 33, 589 (1974).
- [108] S.Coleman, Phys.Rev. Dll, 2088 (1975).
- [109] P.B.Wiegmann, J.Phys. C11, 1583 (1978).
 [110] H.J.F.Khops, Fundamental Problems in Statistical Mechanical
- [110] H.J.F.Knops, Fundamental Problems in Statistical Mechanics V, E.G.D.Cohen ed. North-Holland pub. (1980).
- [111] L.P.Kadanoff, "Lattice Coulomb gas Representation of two dimensional Problems" preprint.
- [112] S.A.Bulgadaev, Phys.Lett. 87B, 47 (1979).
- [113] S.G.Rajeev, Phys.Lett. 113B, 146 (1982).
- [114] R.G.Brower, P.Goddard, Lett. Nuovo Cimento 1 (1971) 1075
- [115] I.G.Enting, F.Y.Wu, Journal of Stat.Phys. 28, 351 (1982) B.Nienhuis, Phys.Rev.Lett. 49, 1062 (1982).
- [116] F.Ursell, Proc.Comb.Phil.Soc. 49, 685-694 (1953),
- [117] J.Frenkel, T.Kontorova, "On the theory of plastic deformation and twinning", J.Phys. (USSR) vol.1,137 (1939).
- [118] A.C.Scott, F.Y.F.Chu, S.A.Reible, J.Appl.Phys. 47, 3272 (1976).
- [119] M.Gross "Contribution théorique et expérimentale à l'étude du phénomène de superradiance" Thèse d'Etat (1980).
- [120] W.L. Mc.Millan, Phys.Rev. B14, 1496 (1976).
- [121] F. Trappert, C.M. Varma, Phys. Rev. Lett. 25, 1108 (1970).
- [122] B.D.Fried, Y.H.Ichikawa, J.Phys.Soc.Japan, 34, 1073-1082 (1973).
- [123] P.G. de Gennes, Superconductivity of Matels and Alloys (chapitre 6).
 N.Y.Benjamin (1966).
- [124] R. Hirota, J. Phys. Soc. Japan, 35, 286 (1973).

- [125] J.Tjon, J.Wright, Phys.Rev. B15, 3470 (1977).
- [126] R.K.Bullough, "Solitons", Phys.Bull, 78-82 (1978).
- [127] R.K.Bullough, P.W.Kitchenside, P.M.Jack, R.Saunders, "Solitons in laser physics", Phys.Scr. 20, 364 (1979).
- [128] A.M.Perelomov, Phys.Lett. 80A, 156 (1980).
- [129] B.K.Harrison, Phys.Rev.Lett. 41, 1197 (1978).
- [130] D.Maison, Phys.Rev.Lett. 41, 521 (1978).
- [131] V.A.Faceev, P.B.Wiegmann, Phys.Lett. 81A, 179 (1981).
- [132] B.Sutherland, Phys.Rev.Lett. 19, 1312 (1967).
- [133] S.A.Brazovsky, I.E.Dzyaloshinsky, I.M.Krichever, Phys.Lett. 91A,40(1982).
- [134] I.E.Dzyaloshinsky, Sov.Phys. JETP 20, 665 (1965).
- [135] M.E.Fisher, W.Selke, Phil.Trans.Roy.Soc. 302, 1 (1981).
- [136] I. Dzyaloshinsky, I.M. Krichever, "Pinning in a discrete Peierls model" preprint soumis & JETP (1982).
- [137] E.D.Belokolos, Theor. Math. Phys. 604 (1982).
- [138] B.A. Dubrovin, S.P. Novikov, Sov. Phys. JETP, 52, 511 (1980).
- [139] P.W.Anderson dans "Gauge theories and modern field theory", Proc. of a Conf. held at Northeastern, Univ.Boston, R.Arnowitt, Pran Nath ed (1975).
- [140] R.Bishop, Physica Scripta 20, 409-423 (1979).
- [141] M.Toda, Physica Scrip. 10, 424-430 (1979).
- [42] I.G. Mc Donald, Séminaire Bourbaki, 1980/1981 "Affine Lie Algebras and modular forms".

AUTRES REFERENCES QUE VOUS POURREZ CONSULTER

Se rapportant aux paragraphes :

11.11) :

- V.E.Zakharov, A.V.Mikhailov, Sov.Phys. JETP, 47, 1017 (1078).
- N.Papanicolaou, J.Math.Phys. 20, 2069 (1979).
- R.K.Dodd, J.D.Gibbon, Proc.Roy.Soc.Lond. A358, 287-296 (1977).
- G.Leibbrandt, Phys.Rev.Lett. 41, 435 (1978).

II.2)

- F.Calogero, C.Marchiora, J.Math.Phys. 14, 182 (1973).
- J.B. Mc Guire, J.Math.Phys. 5, 622 (1964).
- J.Harnod, J.Tafel, S.Shnider, J.Math.Phys. 21, (1980).
- F. Calogero, J. Math. Phys. 12, 419 (1971).

II.3)

- M.Sato, T.Miwa, M.Jimbo, Proc.Japan Acad. 53A, N°5, 6-10,147-152,153-158(1977)

 55A, N°9, 317-322,405-410(1979).
- M.J.Ablowitz, A.Ramoni, H.Segur, J.Math.Phys. 21, 715 (1980).

II.4) :

- A.B.Zamolodchikov, Phys.Lett. 97B, 63 (1980).
- P.H.Weisz, Nuclear Phys. B122, 1-14 (1977).
- P.P.Kulish, N.Y.Reshetikhin, E.K.Sklyanin, Letters in Math.Phys. 5,393(1981).
- P.P.Kulish, Physica 3D, 246-257 (1981).
- L.D.Faddeev, L.A.Takhtadjan, Phys.Lett. 85A, 375 (1981).
- A.A.Belavin, A.B.Zamolodchikov, Phys.Lett. 116B, 165 (1982).
- I.Peschel, F.Rys.Phys.Lett. 91A, 187 (1982).
- R.E.Shrock, Phys.Lett. 91A, 157 (1982).
- S.A.Tsyplyaev, Theor.Math.Phys. 580 (1982).
- A Tabanatit u u n--ur nr nr nr 10 100 11000
- A.Lagendijk, H.de Raedt, Phys.Rev.Lett. 49, 602 (1982).

II.5):

- C.A.Hurst, J.Math.Phys. 5, 90-100 (1964).
- S.B.Kelland, Austr.J.Phys. 27, 813 (1974).
- R.J.Baxter, Proc. Comb.Phil.Soc. 59, 779 (1963).
- R.J.Baxter, F.Y.Wu, Austr.J.Phys. 27, 357 (1974).
- C.B.Thorn, Physics Reports 67, 171 (1980).

1.7) :

- R.Hermann, J.Math.Phys. 22, 1163 (1981).
- R.V.Moody, J.Alg. 10, 211 (1968).
- F.Looijenga, Inv.Math. 38, 17-32 (1976).
- J.L. Verdier, Séminaire Bourbaki n°566 Algebre de Lie ... (1980).
 III.2):
- A.Libchaber, G.Toulouse, La Recherche, 73, 1027-1034 (1976).
- A.R.Bishop, J.A.Krumhansl, S.E.Trullinger, Physica 4D, 1-44 (1980).